

УДК 629.7.064.3.018

Группа Д19

ОТРАСЛЕВОЙ СТАНДАРТ

ОСТ 1 00149-82

ГИДРОПРИВОДЫ СИСТЕМ УПРАВЛЕНИЯ ЛЕТАТЕЛЬНЫХ АППАРАТОВ

Расчет режимов ускоренных испытаний

Взамен ОСТ 1 00149-74

На 81 страницах

Распоряжением Министерства от 28 июня 1982 г.

№ 087-16

срок введения установлен с 1 июля 1983 г.

4885

Настоящий стандарт распространяется на гидроприводы поступательного движения с гидромеханическим и электрогидравлическим регулированием при определении для них режимов ускоренных ресурсных испытаний и испытаний на усталость, а также на гидроприводы вращательного движения – при испытании на усталость.

Стандарт не распространяется на насосы, насосные станции и гидромоторы.

Инв. № дубликата
Инв. № подлинника

Издание официальное



ГР 8254848 от 06.08.82

Перепечатка воспрещена

Стандарт устанавливает расчет режимов ускоренных испытаний гидроприводов систем управления пневматических аппаратов при:

- ресурсных испытаниях в опытном производстве;
- испытаниях на усталость за назначенный ресурс для оценки прочностных характеристик конструкции гидроприводов в опытном производстве;
- испытаниях на подтверждение назначенного ресурса по сопротивлению усталости на этапе установочной серии;
- периодических испытаниях (ресурсных и на усталость) в установленном серийном производстве.

1. ОБЩИЕ ПОЛОЖЕНИЯ

1.1. Гидроприводы, для которых определяются режимы ускоренных испытаний, должны:

- работать на жидкостях: АМГ-10 ГОСТ 6794-75; 7-50С-3 ГОСТ 20734-75; НГЖ-4 ТУ 38 101740-80;
- работать при температуре рабочей жидкости и окружающей среды от минус 60 до плюс 220 °С, давлении до 27,5 МПа ($280 \text{ кгс}/\text{см}^2$), скорости движения выходного звена до 250 мм/с;
- выполнять с уплотнениями подвижных и неподвижных соединений из фторопласта Фт-4 ТУ 6-05-810-76; из резиновых смесей: В-14, В-14-1, ИРП-1353, ИРП-1078, ИРП-1054, НО-68-1, ИРП-1287, ИРП-1316, ИРП-1375, ИРП-1377, ВР-7 по ТУ 38 005 1166-73, 51-1668НТА по ТУ 38-40334-77 и с силовыми деталями из стальных, титановых, алюминиевых и других сплавов;
- нарабатывать ресурс посредством подачи периодически меняющегося электрического управляющего сигнала от генератора периодических колебаний или управляющего сигнала от механического (гидравлического) *Син* - задатчика.

Распространение настоящего стандарта на гидроприводы, работающие в других условиях и изготовленные из других материалов, возможно после проведения необходимого объема испытаний для определения коэффициентов K_{ct} , K_t , ψ , m , a , b , c , γ .

1.2. Сокращение времени ресурсных испытаний достигается за счет форсирования режимов испытаний гидроприводов – скорости движения выходного звена, давления и температуры рабочей жидкости, нагрузки на выходном звене при сохранении остальных условий, состава, методик по испытанию на соответствие требованиям технических условий (ТУ) на гидропривод

1.3. Сокращение времени испытаний гидроприводов на усталость за назначенный ресурс достигается проведением испытаний при увеличенных нагрузках с сохранением эквивалентности по накоплению усталостных повреждений и (или) за счет

№ ИЗМ	
№ ИЗВ	

Изв № дубликата	4835
Изв. № подлинника	

увеличения частоты циклов нагружения. При испытаниях на усталость производится блочное нагружение гидропривода. Оптимальное число блоков за назначенный ресурс составляет 10-15.

1.4. В основу методики заложена эквивалентность режимов эксплуатации или режимов испытаний, заданных в техническом задании (ТЗ) на гидропривод, ускоренным режимам испытаний по основным разрушающим факторам для критических деталей:

- износу уплотнений подвижных соединений выходного звена;
- тепловому старению резиновых уплотнений;
- накоплению усталостных повреждений в силовых деталях;
- износу подшипников.

1.5. Степень ускорения ограничивается максимально допустимыми температурами рабочих жидкостей и материалов, максимально распорагаемыми скоростями и нагрузками.

1.6. Оценку результатов ускоренных испытаний проводить в соответствии с действующей нормативно-технической документацией (НТД) на гидропривод.

1.7. Программы ускоренных ресурсных испытаний и испытаний на усталость разрабатываются и опробируются предприятиями разработчиками гидроприводов и вводятся в ТУ.

1.8. Допускается объединение двух программ в единую программу испытаний на долговечность с соблюдением эквивалентности по всем основным разрушающим факторам и требований по обеспечению надежности.

1.9. Термины, использованные в стандарте, и их определения приведены в справочном приложении 1.

1.10. Условные буквенные обозначения параметров приведены в обязательном приложении 2.

2. ПРИНЯТЫЕ ДОПУШЕНИЯ И МЕТОДИЧЕСКИЕ УКАЗАНИЯ

2.1. Методика определения режимов ускоренных ресурсных испытаний построена на основе форсирования температуры рабочей жидкости (t_H) при постоянной температуре окружающей среды ($t_{окрH} = t_{окрY}$), причем режимы, имеющие температуру минус $60^{\circ}\text{C} \leq t_H \leq 0^{\circ}\text{C}$ для всех типов гидроприводов, ускорению не подлежат.

2.2. При температуре рабочей жидкости в интервале $(t_Y + \Delta t_K) \leq 65^{\circ}\text{C}$ изменение износа уплотнений от изменения температуры не учитывается ($\alpha_1 = 0$). Если $t_H \leq 65^{\circ}\text{C}$, а $(t_Y + \Delta t_K) > 65^{\circ}\text{C}$, то в расчетных формулах следует принимать $t_H = 65^{\circ}\text{C}$.

№ изн.
№ изн.

4835

Изд № дубликата
Изд. № подлинника

2.3. Старение резиновых уплотнений при температуре рабочей жидкости (t_H , $t_Y + \Delta t_K$) $\leq 50^{\circ}\text{C}$ не учитывается. Если $t_H \leq 50^{\circ}\text{C}$, а ($t_Y + \Delta t_K$) $> 50^{\circ}\text{C}$, то в расчетных формулах по старению следует принимать $t_H = 50^{\circ}\text{C}$.

2.4. За нормы герметичности по уплотнениям подвижных соединений на ускоренном режиме принимаются нормы, указанные в ТУ для соответствующего режима эксплуатации.

2.5. Если на ускоренных режимах будет установлено отклонение от норм герметичности, указанных в п. 2.4, то после наработки ресурса на данном ускоренном режиме должна быть произведена проверка утечек в течение 1 ч на соответствующем режиме, указанном в ТУ.

При удовлетворительных результатах проверки следует продолжить ускоренные испытания, а при неудовлетворительных – произвести работы в соответствии с действующей НТД и принятым решением.

2.6. Критичными деталями по износу и тепловому старению являются резиновые (фторопластовые) уплотнения подвижных соединений, причем при наличии уплотнений из резины нескольких марок расчет следует производить по резине, имеющей наименьший ресурс при максимальной температуре рабочей жидкости, заданной в ТУ.

Для гидроприводов, имеющих другие критичные детали по тепловому старению и (или) износу, расчет следует производить с учетом этих деталей.

2.7. Критичными деталями по накоплению усталостных повреждений являются детали, имеющие максимальные напряжения при работе гидропривода.

Критичные детали определяются для каждой группы деталей, классифицируемых по материалу, из которого они изготовлены (стальные, алюминиевые, титановые и другие материалы), и по характеру воспринимаемой нагрузки.

2.8. Испытания на усталость проводятся при нормальных температурах рабочей жидкости $t = (35 \pm 10)^{\circ}\text{C}$ и окружающей среды $t_{окр} = (25 \pm 10)^{\circ}\text{C}$.

При испытании на усталость необходимо отрабатывать температурные режимы, если температура рабочей жидкости и окружающей среды по ТЗ (ТУ) более 120°C для гидроприводов, в которых есть силовые детали из легких сплавов (кроме титановых) или более 250°C для гидроприводов, в которых применяются другие сплавы (в том числе титановые).

2.9. Коэффициент чувствительности к асимметрии цикла напряжений (ψ) для титановых сплавов принимается как для высокопрочного алюминиевого сплава В95.

№ изн.
№ изв.

4835

Изв. № дубликата
Изв. № подлинника

2.10. Коэффициент чувствительности к асимметрии цикла по напряжениям среза (ψ_{τ}) принимается равным половине коэффициента по напряжениям изгиба (ψ_G).

2.11. При испытании на усталость частоту циклов (f) не рекомендуется повышать более 5 Гц. При испытании гидроагрегатов с деталями из титановых и алюминиевых сплавов частоту циклов более 3 Гц применять не рекомендуется.

Увеличение частоты выше рекомендуемой должно быть технически обосновано.

2.12. Влияние на усталость шарнирных моментов трения и сил трения в соединениях с поступательным движением должно учитываться заданием амплитуды движения выходного звена не менее $\pm 0,5$ мм с поворотом в шарнирном соединении.

2.13. Число циклов при испытаниях на усталость задается с учетом необходимого коэффициента надежности γ_{Σ} (см. п. 7.19).

2.14. Испытания на усталость проводятся до наработки числа циклов, необходимого для защиты назначенного ресурса по всем группам деталей.

2.15. Несущая способность конструкции по сопротивлению усталости определяется испытаниями до разрушения и является неограниченной при наработке числа циклов $5 \cdot 10^7$.

2.16. В случае разрушения деталей при испытании на усталость, определение ресурса разрушившихся деталей производится по средней наработке идентичных деталей, а по всему гидроприводу – по общей наработке с начала испытаний.

2.17. При определении ресурса по сопротивлению усталости следует исходить из несущей способности основных силовых деталей. Результаты испытаний на усталость учитываются при установлении ресурса до первого ремонта, межремонтного и назначенного ресурсов гидропривода.

2.18 Для подтверждения наработок менее ресурса до первого ремонта производится отработка необходимого числа циклов и расширенный объем контрольных проверок, устанавливающих отсутствие разрушений без разборки гидропривода, или дополнительная отработка блока нагружения, эквивалентного 20% подтверждаемого ресурса, без разборки гидропривода.

Объем проверок устанавливается частным решением с участием представителя заказчика.

2.19. При наличии комбинированных эксплуатационных нагрузок (напложение высокочастотных нагрузок на низкочастотные) испытания на усталость необходимо проводить, имитируя комбинированные нагрузки, при этом ускорение испытаний рекомендуется производить за счет увеличения высокочастотной составляющей нагрузки. Допускается приведение комбинированных нагрузок к эквивалентной при

№ изм.	№ изм.
--------	--------

4835	
------	--

Изв. № дубликата	
Изв. № подлинника	

наличии технически обоснованной методики, подтвержденной экспериментально.

2.20. К испытаниям на усталость не допускаются гидроприводы, имеющие критические дефекты, и гидроприводы, прошедшие статические испытания на прочность.

2.21. Модификация силовых деталей по материалам, конструкции и технологии их изготовления, влияющая на сопротивление усталости этих деталей, должна проверяться повторными испытаниями на усталость. Объем повторных испытаний согласовывается с представителем заказчика.

3. РАСЧЕТ РЕЖИМОВ УСКОРЕННЫХ РЕСУРСНЫХ ИСПЫТАНИЙ

ГИДРОПРИВОДОВ ПРИ $A_y = A_H$, $n_y \neq n_H$, $R_y \neq R_H$

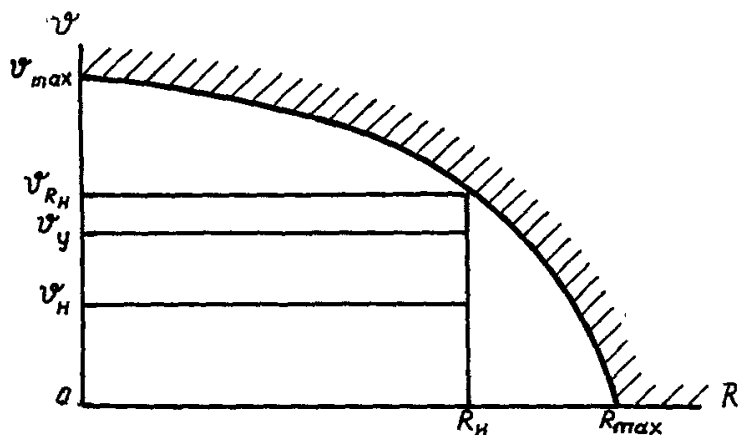
3.1. Исходные данные для расчета режимов ускоренных ресурсных испытаний, заданные в ТЗ (ТУ), должны быть внесены в табл. 1.

Таблица 1

Номер режима	Амплитуда перемещения выходного звена, мм	Нагрузка на выходном звене, Н (кгс)	Температура, °C		Кол. циклов перемещения выходного звена	Частота перемещений выходного звена, Гц	Время испытаний на режиме, ч
			окружающей среды	рабочей жидкости			
1	A_{H_1}	$R_{H_1}^{\min} \dots R_{H_1}^{\max}$	$t_{\text{окр. } H_1}$	t_{H_1}	n_{H_1}	f_{H_1}	τ_{H_1}
2	A_{H_2}	$R_{H_2}^{\min} \dots R_{H_2}^{\max}$	$t_{\text{окр. } H_2}$	t_{H_2}	n_{H_2}	f_{H_2}	τ_{H_2}
j	A_{H_j}	$R_{H_j}^{\min} \dots R_{H_j}^{\max}$	$t_{\text{окр. } H_j}$	см.черт.4	n_{H_j}	f_{H_j}	τ_{H_j}

Итого: $\sum_{j=1}^J n_{H_j}$. $\sum_{j=1}^J \tau_{H_j}$

- Примечания:
1. Один цикл перемещений состоит из прямого и обратного хода выходного звена, при этом количество циклов перемещения выходного звена может не совпадать с количеством циклов нагрузки.
 2. Значения нагрузок в таблице следует приводить с учетом знака, определяющего направление их приложения к выходному звену.
 3. Нагрузочная характеристика $\mathcal{U} = F(R)$ приведена на черт. 1.

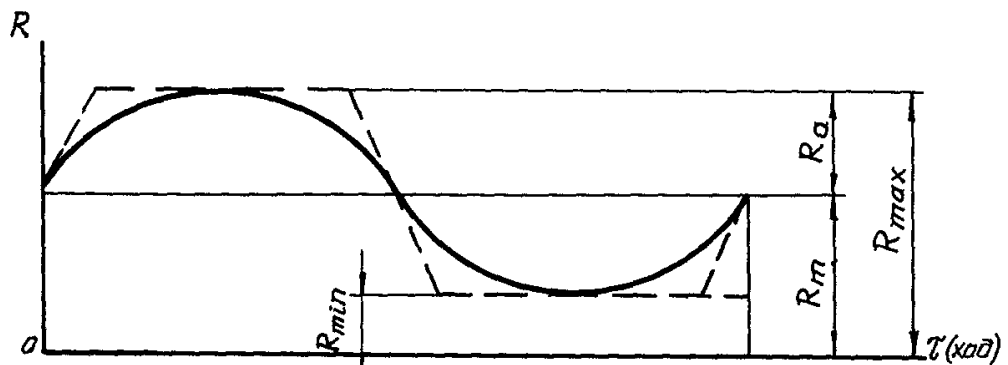


Черт. 1

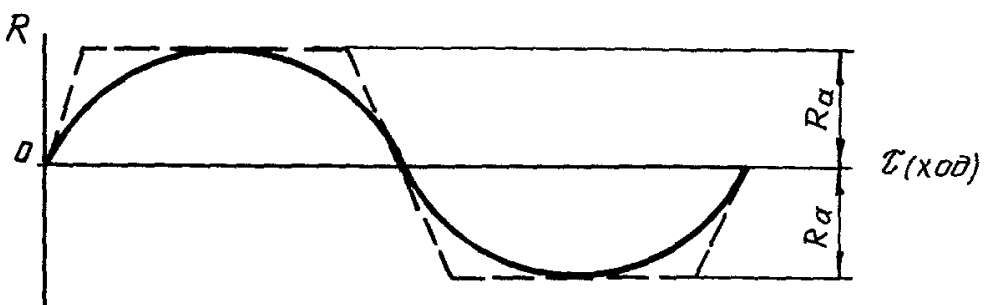
4. Наработка производится при заданных давлениях в напорной (P_n) и сливной (P_c) гидролиниях.

5. Примеры изменения нагрузки за цикл приведены:

- для асимметричного цикла нагружения - на черт. 2,
- для симметричного цикла нагружения - на черт. 3.

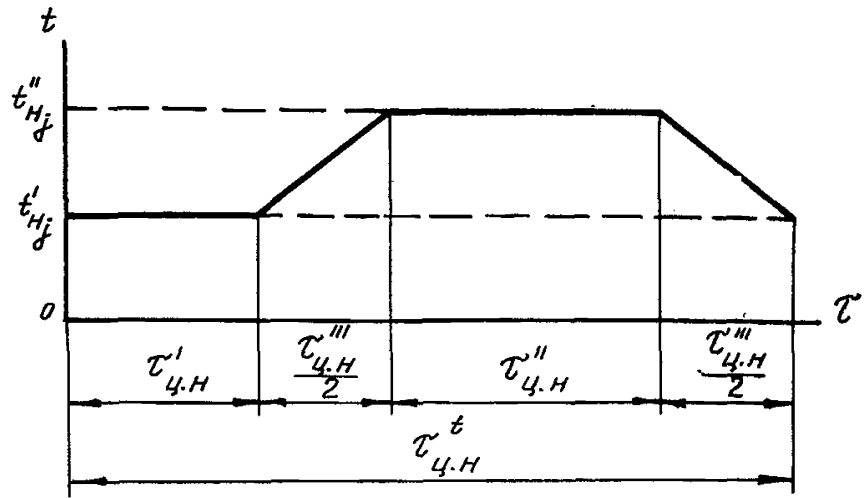


Черт. 2



Черт. 3

6. Изменение температуры рабочей жидкости на режиме j задано температурным графиком, приведенным на черт. 4.



Черт. 4

3.2. Расчет режимов ускоренных испытаний производить по критичной резине (см. п. 2.6)

3.3. Определить скорость движения выходного звена на каждом режиме, заданном в табл. 1, по формуле:

$$\dot{\vartheta}_{H,j} = 2\pi f_{H,j} A_{H,j}. \quad (1)$$

Для прямоугольного или трапециoidalного управляющего сигнала скорость движения выходного звена следует определять по формуле:

$$\dot{\vartheta}_{H,j} = 4A_{H,j} f_{H,j}. \quad (2)$$

3.4. Определить максимальную допустимую скорость движения выходного звена в соответствии с нагрузочной характеристикой гидропривода при нагрузке на каждом режиме, заданном в табл. 1, по формуле:

$$\dot{\vartheta}_{R_{H,j}} = \frac{\dot{\vartheta}_{max}}{\sqrt{R_{max} - R_{H,j}}} \cdot \quad (3)$$

3.5. Определить скорость движения выходного звена на каждом ускоренном режиме по формуле:

$$\dot{\vartheta}_j \approx 0,9 \dot{\vartheta}_{R_{H,j}}. \quad (4)$$

Если имеется нагрузочная характеристика для данного гидропривода, то допускается принимать

$$\dot{v}_{y_j} = \dot{v}_{R_{Hj}} \quad (5)$$

3.6. Определить приращение температуры в резиновом уплотнении от увеличения скорости движения выходного звена на каждом ускоренном режиме по формуле:

$$\Delta t_{Kj} = C (\dot{v}_{y_j} - \dot{v}_{Hj}) \quad (6)$$

3.7. Рекомендуется выбирать температуру рабочей жидкости на каждом ускоренном режиме в первом приближении из условий:

$$\left. \begin{array}{ll} \dot{v}_{y_j} \approx 2 \dot{v}_{Hj}; & t_{y_j} \approx t_{Hj} + (10..15)^\circ C; \\ \dot{v}_{y_j} \approx 3 \dot{v}_{Hj}; & t_{y_j} \approx t_{Hj} + (15..20)^\circ C; \\ \dot{v}_{y_j} \approx 4 \dot{v}_{Hj}; & t_{y_j} \approx t_{Hj} + (20..25)^\circ C; \\ \dot{v}_{y_j} \approx 5 \dot{v}_{Hj}; & t_{y_j} \approx t_{Hj} + (25..30)^\circ C; \\ \dot{v}_{y_j} \approx 6 \dot{v}_{Hj}; & t_{y_j} \approx t_{Hj} + (30..40)^\circ C. \end{array} \right\} \quad (7)$$

3.8. Произвести разбивку интервала температуры от t_H до $(t_y + \Delta t_K)$ на интервалы через $10^\circ C$, обозначив их по возрастающей последовательности: от t_0 до t_1 , от t_1 до t_2 , ..., от t_{i-1} до t_i ,

где $t_0 \leq t_H \leq t_1$;

$$t_{i-1} \leq (t_y + \Delta t_K) \leq t_i.$$

Коэффициенты старения резиновых уплотнений $K_{CT_1}, K_{CT_2}, \dots, K_{CT_{i-1}}, K_{CT_i}$ для критической резины и соответствующих интервалов температур определяют по рекомендуемому приложению 3.

3.9. Определить произведение коэффициентов старения по формуле:

$$\prod_{j=1}^i K_{CT_j} = K_{CT_1} \cdot K_{CT_2} \cdots K_{CT_{i-1}} \cdot K_{CT_i}, \quad (8)$$

где $\Delta t_1 = t_1 - t_H$;

$$\Delta t_i = (t_y + \Delta t_K) - t_{i-1}.$$

3.10. Уточнить методом последовательных приближений с относительной погрешностью $\pm 5\%$ температуру рабочей жидкости t_{y_j} при $\dot{v}_{y_j} = \text{const}$ или скорость движения выходного звена \dot{v}_{y_j} при $t_{y_j} = \text{const}$ на каждом ускоренном режиме при $t_H \geq 65^\circ C$ по формуле:

$$\dot{v}_{y_j}' = \dot{v}_{Hj} \left[\prod_{l=1}^i K_{CT_l} \left(\frac{t_{Hj}}{t_{y_j} + \Delta t_{Kj}} \right)^{\alpha_l} \right]^{\frac{1}{1+ab}}. \quad (9)$$

Инв. № дубликата	4835
Инв. № подлинника	

Показатели степени α и α_1 приведены в рекомендуемом приложении 4.

3.11. Определить частоту перемещения выходного звена на каждом ускоренном режиме по формуле:

$$f_{y_j} = \frac{v_{y_j}}{2\pi A_{y_j}}, \quad (10)$$

а для прямоугольного или трапециoidalного управляющего сигнала по формуле:

$$f_{y_j} = \frac{v_{y_j}}{4A_{y_j}}. \quad (11)$$

3.12. Определить количество циклов перемещения выходного звена на каждом ускоренном режиме по формуле:

$$n_{y_j} = n_{H_j} \left(\frac{v_{H_j}}{v_{y_j}} \right)^{\alpha b} \left(\frac{t_{H_j}}{t_{y_j} + \Delta t_{K_j}} \right)^{\alpha_1} \left(\frac{P_{H_j}}{P_{y_j}} \right)^{\alpha \gamma}. \quad (12)$$

3.13. Определить время ресурсных испытаний на каждом ускоренном режиме по формуле:

$$\tau_{y_j} = \tau_{H_j} \left(\frac{v_{H_j}}{v_{y_j}} \right)^{1+\alpha b} \left(\frac{t_{H_j}}{t_{y_j} + \Delta t_{K_j}} \right)^{\alpha_1} \left(\frac{P_{H_j}}{P_{y_j}} \right)^{\alpha \gamma}; \quad (13)$$

проверить по формуле:

$$\tau_{y_j} = \frac{n_{y_j}}{f_{y_j} 3600}. \quad (14)$$

3.14. Определить время старения на каждом ускоренном режиме по формуле:

$$\tau_{y_j}^{CT} = \frac{\tau_{H_j}}{\prod_{i=1}^i K_{CT_i}}, \quad (15)$$

где $\prod_{i=1}^i K_{CT_i}$ - по формуле (8).

3.15. Если температура рабочей жидкости задана температурным графиком, то расчет ускоренного режима необходимо производить следующим образом:

– определить ϑ_{Hj} , ϑ_{RHj} , ϑ_{yj} , Δt_{Kj} , t'_{yj} , t''_{yj} по формулам (1) – (7);

– определить среднюю температуру рабочей жидкости при подъеме с t'_{Hj} до t''_{Hj} и с t'_{yj} до t''_{yj} по формуле:

$$t'''_j = \frac{t'_j + t''_j}{2};$$

– определить $\prod_{i=1}^L K_{CTj}$ на каждом подрежиме в интервале температур от t^i_{Hj} до $(t^L_{yj} + \Delta t_{Kj})$ по формуле (8);

– определить скорость ϑ^L_{yj} на каждом подрежиме по формуле (9);

– принять одну из скоростей постоянной для всех подрежимов, ориентируясь на самый длительный из них;

– изменяя t^L_{yj} , Δt_{Kj} , $\prod_{i=1}^L K_{CTj}$, добиться приближенного равенства скоростей ϑ^L_{yj} с погрешностью $\pm 10\%$;

– определить время испытаний на каждом подрежиме $T^L_{Hj} = \tau^i_{yj} n^t_{Hj}$, где n^t_{Hj} – количество температурных циклов;

– определить количество циклов перемещений выходного звена на каждом подрежиме:

$$n^i_{Hj} = T^i_{Hj} f_{Hj};$$

– определить время старения T^{st}_{yj} на каждом ускоренном подрежиме по формуле (15);

– определить частоту перемещения выходного звена на ускоренном режиме по формуле (10);

– определить количество циклов перемещений выходного звена на каждом ускоренном подрежиме по формуле (12);

– определить время испытаний T^i_{yj} на каждом ускоренном подрежиме по формулам (13) и (14);

№ изм.
№ изв.

4835

Наб № дубликата
Наб. № подлинника

- выбрать время подъема и снижения температуры рабочей жидкости $\tau_{4,y_j}^{''''}$, из условий сохранения скорости изменения температуры в пределах до $10^{\circ}\text{C}/\text{мин}$;
- определить количество температурных циклов на ускоренном режиме по формуле:

$$n_{y_j}^t = \frac{\tau_{y_j}^{'''}}{\tau_{4,y_j}^{''''}} \quad (\text{или } n_{y_j}^t = \frac{\tau_{y_j}^{''}}{\tau_{4,y_j}^{''}}) ;$$

- определить время испытаний в температурном цикле на каждом ускоренном подрежиме по формуле:

$$\tau_{y,y_j}^i = \frac{\tau_{y_j}^i}{n_{y_j}^t} .$$

3.16. Проверить суммарную эквивалентность по старению резиновых уплотнений на всех режимах испытаний:

$$|\Delta| = \left| \frac{\sum_{j=1}^i \tau_{y_j}^{pr} - \sum_{j=1}^i \tau_{y_j}^{ст pr}}{\sum_{j=1}^i \tau_{y_j}^{pr}} \right| 100, \quad (16)$$

где $|\Delta| \leq 5\%$ – условие эквивалентности;

$\sum_{j=1}^i \tau_{y_j}^{pr}$ и $\sum_{j=1}^i \tau_{y_j}^{ст pr}$ – величины, приведенные к одной температуре t_{pr} , значение которой выбирается произвольно.

3.17. Определить минимальные ($R_{y_j}^{min}$) и максимальные ($R_{y_j}^{max}$) значения нагрузки на каждом ускоренном режиме по формулам:

$$R_{y_j}^{min} = R_{H_j}^{min} K_t \left(\frac{n_{H_j}}{n_{y_j}} \right)^{\frac{1}{m}} ; \quad (17)$$

$$R_{y_j}^{max} = R_{H_j}^{max} K_t \left(\frac{n_{H_j}}{n_{y_j}} \right)^{\frac{1}{m}} . \quad (18)$$

Показатель степени m приведен в рекомендуемом приложении 4 и выбирается в зависимости от ожидаемой долговечности на режимах.

3.18 При постоянной заданной нагрузке следует принимать $R_y = R_H$.

3.19. Определить переменные (R_{aj}) и постоянные (R_{mj}) составляющие нагрузки на каждом длительном и ускоренном режимах испытаний по формулам:

$$R_{aj} = \frac{R_{y_j}^{max} - R_{y_j}^{min}}{2} ; \quad (19)$$

№ изм.
№ изз.

4835

Исп. № дубликата
Исп. № подлинника

$$R_{m_f} = \frac{R_f^{max} + R_f^{min}}{2}, \quad (20)$$

где R_j^{\max} и R_j^{\min} выбираются из табл. 1

3.20 Определить значения приведенной нагрузки (R_j^{np}) на каждом дли-
тельном и ускоренном режимах по формуле:

$$R_f^{np} = \left| R_{\alpha_f} \right| + \psi \left| R_{m_f} \right|. \quad (21)$$

Значения коэффициента чувствительности к асимметрии цикла Ψ приведены в рекомендуемом приложении 5 к настоящему стандарту.

Для знакопостоянных режимов нагружения нагрузкой растяжения рекомендуется приведение по формуле Одинга к отнулевому циклу:

$$R_j^{np} = \sqrt{R_j^{\max}(R_j^{\max} - R_j^{\min})}. \quad (22)$$

3.21 Проверить суммарную эквивалентность по накоплению усталостных повреждений на всех режимах длительных и ускоренных испытаний для выходного звена по формуле:

$$\Delta D = \left[\frac{\sum_{j=1}^J n_{Y_j} (R_{Y_j}^{np})^m / K_t^m}{\sum_{j=1}^J n_{H_j} (R_{H_j}^{np})^m} - 1 \right] 100, \quad (23)$$

где $-10\% \leq \Delta D \leq 200\%$ – условие эквивалентности.

3.22. Необходимо уточнить при наличии инерционных масс нагрузку на выходном звене по следующим зависимостям:

$$\sum R_H = R_H + R_{u_H}; \quad (24)$$

$$\sum R_y = R_y + R_{u_y}; \quad (25)$$

$$R_{U_H} = M_H \ f_H^2 \ A_H \ 4\pi^2; \quad (26)$$

$$R_{Uy} = M_y f_y^2 A_y 4\pi^2. \quad (27)$$

При $n_y \neq n_H$ сохранить равенство $\sum R_y = \sum R_H K_t \left(\frac{n_H}{n_y} \right)^{1/m}$, изменения R_{uy} или R_u в формуле (25)

3.23. Определить средние значения нагрузок на растяжение (R_{Pj}^{cp}) и на сжатие (R_{Cj}^{cp}) штока по формулам:

$$R_{Pj}^{cp} = \frac{R_{Pj}^{\max} + R_{Pj}^{\min}}{2}; \quad (28)$$

$$R_{Cj}^{cp} = \frac{R_{Cj}^{\max} + R_{Cj}^{\min}}{2}. \quad (29)$$

3.24. Проверить суммарную эквивалентность по износу выходных силовых подшипников, нагружаемых внешней нагрузкой на всех режимах длительных и ускоренных испытаний отдельно для нагрузок на растяжение (ΔJ_p) и на сжатие (ΔJ_c) штока по формуле:

$$|\Delta J_p| = \left| \frac{\sum_{j=1}^J n_{yj} A_{yj} (R_{p,yj}^{cp})^K}{\sum_{j=1}^J n_{hj} A_{hj} (R_{p,hj}^{cp})^K} - 1 \right| 100, \quad (30)$$

где $|\Delta J_p| \leq 20\%$ – условие эквивалентности;

$K = 3,33$ для роликовых подшипников;

$K = 3$ для шариковых подшипников и для подшипников скольжения:

$$|\Delta J_c| = \left| \frac{\sum_{j=1}^J n_{yj} A_{yj} (R_{c,yj}^{cp})^K}{\sum_{j=1}^J n_{hj} A_{hj} (R_{c,hj}^{cp})^K} - 1 \right| 100, \quad (31)$$

где $|\Delta J_c| \leq 20\%$ – условие эквивалентности.

3.25. В случае несоблюдения эквивалентности по накоплению усталостных повреждений и по износу подшипников на длительных и ускоренных режимах, определить нагрузку на выходном звене по формуле.

$$R_{yj} = 2 \left[\frac{\sum_{j=1}^J A_{hj} n_{hj} (R_{hj}^{cp})^K}{\sum_{j=1}^J A_{yj} n_{yj}} \right]^{1/K}, \quad (32)$$

уточнить ее методом последовательных приближений с соблюдением эквивалентности по накоплению усталостных повреждений ($-10\% \leq \Delta D \leq 200\%$) и по износу подшипников ($|\Delta T| \leq 20\%$) на длительных и ускоренных режимах, используя формулы (23), (30), (31).

3.26. Для многоканальных гидроприводов определить экспериментально (например, осциллографированием) давление в полостях цилиндра и перепад давления рабочей жидкости на поршне для каждого канала гидропривода на длительных режимах и на ускоренных режимах. Значения давлений в полостях (P) и перепадов давлений на поршне (ΔP) свести в табл. 2.

3.27. Определить приведенные давления на каждом длительном и ускоренном режимах по формуле:

$$P_j^{np} = \sqrt{P_j^{\max}(P_j^{\max} - P_j^{\min})}. \quad (33)$$

3.28 Определить критичную полость цилиндра, для которой приведенные давления рабочей жидкости будут максимальными на каждом длительном и ускоренном режимах.

3.29. Проверить эквивалентность длительных и ускоренных испытаний по на-
коплению усталостных повреждений по формуле:

$$\Delta D = \left| \frac{\sum_{j=1}^J n_{yj} (P_{yj}^{np})^m}{\sum_{j=1}^J n_{mj} (P_{mj}^{np})^m} - 1 \right| 100, \quad (34)$$

где $- 10\% \leq \Delta D \leq 200\%$ - условие эквивалентности.

3.30 Определить переменные (ΔP_{aj}) и постоянные (ΔP_{mj}) составляющие перепадов давления рабочей жидкости на поршне в каждом канале на каждом длительном и ускоренном режимах по формулам:

$$\Delta P_{aj} = \frac{\Delta P_j^{\max} - \Delta P_j^{\min}}{2}; \quad (35)$$

$$\Delta P_{mj} = \frac{\Delta P_j^{\max} + \Delta P_j^{\min}}{2}. \quad (36)$$

3.31. Определить приведенные перепады давления на каждом длительном и ускоренном режимах по формуле:

$$\Delta P_j^{np} = \Delta P_{aj} + \psi \Delta P_{mj}. \quad (37)$$

№ ИЗМ
№ ИЗВ

4835

Инв № дубликата
Инв № подлинника

Инв. № дубликата	
Инв № подлинника	4835

№ изм.											
№ изв											

Таблица 2

Режим испытания.	Давление рабочей жидкости, МПа (кгс/см ²)													
	Канал I				Канал II									
	Полость 1		Полость 2		Поршень 1			Полость 1		Полость 2		Поршень 2		
	P_{I-1}^{\max}	P_{I-1}^{\min}	P_{I-2}^{\max}	P_{I-2}^{\min}	ΔP_I^{\max}	ΔP_I^{\min}	ΔP_I^{cp}	P_{II-1}^{\max}	P_{II-1}^{\min}	P_{II-2}^{\max}	P_{II-2}^{\min}	ΔP_{II}^{\max}	ΔP_{II}^{\min}	ΔP_{II}^{cp}
Длительные (по ТУ)														
Ускоренные														

3.32. Определить критичный канал (цилиндр), для которого приведенные значения перепадов давления рабочей жидкости на поршне будут максимальными на каждом длительном и ускоренном режимах

3.33. Проверить эквивалентность длительных и ускоренных испытаний по на-
коплению усталостных повреждений по формуле:

$$\Delta D = \left[\frac{\sum_{j=1}^J n_{Yj} (\Delta P_{Yj}^{np})^m}{\sum_{j=1}^J n_{Hj} (\Delta P_{Hj}^{np})^m} - 1 \right] 100, \quad (38)$$

где $-10\% \leq \Delta D \leq 200\%$ – условие эквивалентности.

3.34. При $-10\% > \Delta D > 200\%$ добиться необходимых значений давлений и пере-
падов давлений рабочей жидкости регулировкой распределительных устройств.

3.35. Проверить суммарную эквивалентность по износу подшипников, нагружа-
емых внутренними нагрузками (рассогласование каналов) на длительных и уско-
ренных режимах отдельно для нагрузок на растяжение и на сжатие штока по формуле:

$$|\Delta J| = \left| \frac{\sum_{j=1}^J A_{Yj} n_{Yj} (\Delta P_{Yj}^{cp})^k}{\sum_{j=1}^J A_{Hj} n_{Hj} (\Delta P_{Hj}^{cp})^k} - 1 \right| 100, \quad (39)$$

где $|\Delta J| \leq 20\%$ – условие эквивалентности.

3.36. Определить время регламентных работ (смазка шарнирных соединений,
осей) при ускоренных испытаниях:

$$\tau_y^P = \tau_h^P \frac{\sum_{j=1}^J \tau_{Yj}}{\sum_{j=1}^J \tau_{Hj}} . \quad (40)$$

Инв № дубликата	
Инв № подлинника	4835

3.37. Расчетные данные режимов ускоренных ресурсных испытаний свести в табл. 3.

Таблица 3

Номер режима	Амплитуда перемещения выходного звена, мм	Нагрузка на выходном звене, Н (кгс)	Температура, °C		Кол. циклов перемещения выходного звена	Частота перемещения выходного звена, Гц	Время испытаний режима, ч
			окружающей среды	рабочей жидкости			
1	A_{H_1}	$R_{y_1}^{\min} \dots R_{y_1}^{\max}$	$t_{окр. H_1}$	t_{y_1}	n_{y_1}	f_{y_1}	τ_{y_1}
2	A_{H_2}	$R_{y_2}^{\min} \dots R_{y_2}^{\max}$	$t_{окр. H_2}$	t_{y_2}	n_{y_2}	f_{y_2}	τ_{y_2}

j	A_{H_j}	$R_{y_j}^{\min} \dots R_{y_j}^{\max}$	$t_{окр. H_j}$	По температурному графику	n_{y_j}	f_{y_j}	τ_{y_j}
-----	-----------	---------------------------------------	----------------	---------------------------	-----------	-----------	--------------

Итого: $\sum_{j=1}^j n_{y_j}$ $\sum_{j=1}^j \tau_{y_j}$

3.38. В случае, если стендовое оборудование не позволяет увеличить температуру рабочей жидкости работающего гидропривода, допускается производить ускорение испытаний только по скорости при $t_y = t_H$ в соответствии с пп. 3.1 - 3.16. Необходимо заполненный рабочей жидкостью неработающий гидропривод выдержать в конце каждого этапа наработки ресурса в тепловой камере при максимально допустимой температуре $t_{доп}$ в течение времени, определяемого по формуле:

$$\Delta \tau_y^{cr} = \sum_{j=1}^j \tau_{H_j}^{pr} - \sum_{j=1}^j \tau_{y_j}^{pr}, \quad (41)$$

где $\sum_{j=1}^j \tau_{H_j}^{pr}$ и $\sum_{j=1}^j \tau_{y_j}^{pr}$ - величины, приведенные к одной температуре $t_{доп}$.

3.39. Пример расчета режимов ускоренных ресурсных испытаний гидроприводов при $A_y = A_H, n_y \neq n_H, R_y \neq R_H$ приведен в справочном приложении 6.

3.40. При проведении испытаний на усталость в опытном и серийном производстве (кроме ресурсных испытаний) принимается $AD < 200\%$, так как эквивалентность по накоплению усталостных повреждений элементов привода защищается испытаниями на усталость.

№ ИЭМ.
№ КЗ.

4835

Инн. № дубликата
Инн. № подлинника

1. РАСЧЕТ РЕЖИМОВ УСКОРЕННЫХ РЕСУРСНЫХ ИСПЫТАНИЙ

ГИДРОПРИВОДОВ ПРИ $P_H = P_Y, A_Y \neq A_H, R_Y \neq R_H$

1.1. Исходные данные для расчета режимов ускоренных ресурсных испытаний приведены в табл. 1.

1.2. Определить $v_{Hj}, v_{R_{Hj}}, v_{Yj}, \Delta t_{kj}, t_{Yj}, v_{Yj}^i, \sum_{j=1}^i K_{ctj}$ по формулам (1) - (9).

1.3. Определить амплитуду перемещений выходного звена на каждом ускоренном режиме по формуле:

$$A_{Yj} = A_{Hj} \left(\frac{v_{Hj}}{v_{Yj}} \right)^{\alpha_b} \left(\frac{t_{Hj}}{t_{Yj} + \Delta t_{kj}} \right)^{\alpha_1} \left(\frac{P_{Hj}}{P_{Yj}} \right)^{\alpha_Y}. \quad (42)$$

1.4. Определить частоту перемещения выходного звена на каждом ускоренном режиме f_{Yj} по формуле (10) или (11).

1.5. Принять количество циклов перемещений выходного звена на каждом ускоренном режиме, равным количеству циклов на каждом длительном режиме соответственно:

$$\pi_{Yj} = \pi_{Hj}. \quad (43)$$

1.6. Определить время ресурсных испытаний на каждом ускоренном режиме τ_Y по формулам (13) и (14).

1.7. Если температура рабочей жидкости задана температурным графиком (см. черт. 4), то расчет ускоренного режима следует производить в соответствии с п. 3.15, а амплитуды перемещения выходного звена определять в соответствии с формулой (42) для каждой температуры t_H^i, t_Y^i (при $P_Y = P_H$), приведя их к средней амплитуде по формуле:

$$A_{Yj} = \frac{\sum_{i=1}^i A_{Yj}^i \pi_H^i \left(\frac{t_Y^i}{100} \right)^{\alpha}}{\sum_{i=1}^i \pi_H^i \left(\frac{t_Y^i}{100} \right)^{\alpha}}. \quad (44)$$

1.8. Произвести расчеты по п. п. 3.14 и 3.16.

№ изм.
№ изв.

4835

Изв № дубликата
Изв № подлинника

4.9. Определить нагрузку на выходном звене по формуле:

$$R_{yj} = 2 \left[\frac{A_{Hj} \pi_{Hj} (R_{Hj}^{cp})^K}{A_{yj} \pi_{yj}} \right]^{1/K} \quad (45)$$

4.10. Проверить суммарную эквивалентность по накоплению усталостных повреждений и по износу подшипников на длительных и ускоренных режимах по формулам (23), (30), (31).

4.11. В случае несоблюдения эквивалентности по накоплению усталостных повреждений на длительных и ускоренных режимах, определить методом последовательных приближений нагрузку на выходном звене с соблюдением эквивалентности по накоплению усталостных повреждений ($-10\% \leq \Delta D \leq 200\%$) и по износу подшипников ($|\Delta J| \leq 20\%$) на длительных и ускоренных режимах, используя формулы (23), (30), (31).

4.12. Принять нагрузку на выходном звене, удовлетворяющую условию:

$$\begin{aligned} -10\% \leq \Delta D \leq 200\%; \\ |\Delta J| \leq 20\%. \end{aligned} \quad (46)$$

4.13. Для многоканальных гидроприводов выполнить расчеты по пп. 3.26 - 3.35.

4.14. Расчетные данные режимов ускоренных ресурсных испытаний свести в табл. 4.

Таблица 4

Номер режима	Амплитуда перемещения выходного звена, мм	Нагрузка на выходном звене, Н (кгс)	Температура, °С		Кол. циклов перечеснений выходного звена	Частота перемещений выходного звена, Гц	Время испытаний на режиме, ч
			окружающей среды	рабочей жидкости			
1	A_{y_1}	$R_{y_1}^{\min} \dots R_{y_1}^{\max}$	$t_{окр. H_1}$	t_{y_1}	π_{H_1}	f_{y_1}	T_{y_1}
2	A_{y_2}	$R_{y_2}^{\min} \dots R_{y_2}^{\max}$	$t_{окр. H_2}$	t_{y_2}	π_{H_2}	f_{y_2}	T_{y_2}
j	A_{y_j}	$R_{y_j}^{\min} \dots R_{y_j}^{\max}$	$t_{окр. H_j}$	t_{y_j}	π_{H_j}	f_{y_j}	T_{y_j}

Итого: $\sum_{j=1}^t \pi_{Hj}$ $\sum_{j=1}^t T_{yj}$

Ннв. № документа	4.835
Ннв. № подлинника	

4.15. В случае, если стендовое оборудование не позволяет увеличить температуру рабочей жидкости работающего гидропривода, допускается производить ускорение испытаний при $t_y = t_H$ в соответствии с расчетами, изложенными в разделах 3 и 4, а для соблюдения эквивалентности по тепловому старению уплотнений необходимо заполненный рабочей жидкостью неработающий гидропривод выдержать в конце каждого этапа наработки ресурса в тепловой камере при максимально допустимой температуре $t_{\text{доп}}$ в течение времени, определяемого по формуле (41).

4.16. Пример расчета режимов ускоренных ресурсных испытаний гидроприводов при $n_H = n_y$; $A_y \neq A_H$; $R_y \neq R_H$ приведен в справочном приложении 7.

5 РАСЧЕТ РЕЖИМОВ УСКОРЕННЫХ РЕСУРСНЫХ ИСПЫТАНИЙ ГИДРОПРИВОДОВ ПРИ $n_y \neq n_H$, $A_y \neq A_H$; $R_y \neq R_H$

5.1. Исходные данные для расчета режимов ускоренных ресурсных испытаний приведены в табл. 1.

5.2. Определить \mathcal{U}_{Hj}^y и $\mathcal{U}_{R_{Hj}}^y$ по формулам (1) – (3)

5.3. Принять температуру и давление рабочей жидкости общие для всех ускоренных режимов.

5.4. Определить $\prod_{i=1}^i K_{ct}$ по формуле (8).

5.5. Определить скорость перемещения выходного звена общую для всех ускоренных режимов по формуле:

$$\mathcal{U}_y' = \left[\frac{\sum_{j=1}^d \tau_{Hj} (\mathcal{U}_{Hj}^y)^{1+ab} \left(\frac{t_{Hj}}{t_y} \right)^{\alpha_1} \left(\frac{P_{Hj}}{P_{yj}} \right)^{\alpha_2}}{\sum_{j=1}^d \frac{\tau_{Hj}}{\prod_{i=1}^i K_{ctj}}} \right]^{\frac{1}{1+ab}} \quad (47)$$

5.6. Определить Δt_{Kj} по формуле (6).

5.7. Определить \tilde{t}_{yj} по формуле (13).

5.8. Проверить суммарную эквивалентность по старению резиновых уплотнений на длительных и ускоренных режимах по формуле (16).

№ з/м.
№ из.

4835

Инв № дубликата
Инв. № подлинника

5.9. В случае несоблюдения эквивалентности по старению резиновых уплотнений уточнить \bar{v}_y по формуле:

$$\bar{v}_y = \bar{v}'_y \left(\frac{\sum_{j=1}^J \bar{t}_{yj}^{np}}{\sum_{j=1}^J \bar{t}_{yj}^{ст. np}} \right). \quad (48)$$

5.10. Определить новые значения Δt_{kj} и \bar{t}_{yj} по формулам (6) и (13).

5.11. Проверить суммарную эквивалентность по старению резиновых уплотнений по формуле (16).

5.12. Определить A_y общую для всех ускоренных режимов по формуле:

$$A_y = \frac{\sum_{j=1}^J A_{Hj} \Pi_{Hj}}{\sum_{j=1}^J \Pi_{Hj}}. \quad (49)$$

В процессе расчета амплитуду перемещения выходного звена допускается уточнять.

5.13. Определить количество циклов перемещений выходного звена на ускоренных режимах по формуле:

$$\Pi_{yj} = \Pi_{Hj} \frac{A_{Hj}}{A_y} \left(\frac{\bar{v}_{Hj}}{\bar{v}_y} \right)^{ab} \left(\frac{t_{Hj}}{t_y + \Delta t_{kj}} \right)^{a_1} \left(\frac{P_{Hj}}{P_{yj}} \right)^{a_2}. \quad (50)$$

5.14. Все ускоренные режимы объединить в один режим с параметрами:

$$t = t_y;$$

$$A = A_y;$$

$$T = \sum_{j=1}^J \bar{t}_{yj};$$

$$f = \frac{\bar{v}_y}{2\pi A} \text{ или } f = \frac{\bar{v}_y}{4A};$$

$$\Pi = \sum_{j=1}^J \Pi_{yj}.$$

5.15. Уточнить количество циклов перемещений выходного звена на ускоренном режиме по формуле:

$$\Pi = f 3600 T. \quad (51)$$

5.16. Определить среднее значение нагрузки на выходном звене отдельно на сжатие и на растяжение штока по формуле:

$$R^{cp} = \left[\frac{\sum_{j=1}^J n_{Hj} A_{Hj} (R_{Hj}^{cp})^k}{A \pi} \right]^{1/k}. \quad (52)$$

5.17. Определить R_{aj} , R_{pj} , R_j^{np} на длительных и ускоренном режиме по формулам (19) – (21).

5.18. Проверить суммарную эквивалентность по накоплению усталостных повреждений для выходного звена и по износу подшипников на длительных режимах и ускоренном режиме по формулам:

$$\Delta D = \left[\frac{n (R^{np})^m}{\sum_{j=1}^J n_{Hj} (R_{Hj}^{np})^m} - 1 \right] 100, \quad (53)$$

где $-10\% \leq \Delta D \leq 200\%$ – условие эквивалентности;

$$|\Delta J| = \left| \frac{n A (R^{cp})^k}{\sum_{j=1}^J n_{Hj} A_{Hj} (R_{Hj}^{cp})^k} - 1 \right| 100, \quad (54)$$

где $|\Delta J| \leq 20\%$ – условие эквивалентности.

5.19. В случае несоблюдения эквивалентности по накоплению усталостных повреждений на длительных режимах и ускоренном режиме определить методом последовательных приближений нагрузку на выходном звене с соблюдением эквивалентности по накоплению усталостных повреждений ($-10\% \leq \Delta D \leq 200\%$) и по износу подшипников ($|\Delta J| \leq 20\%$) на длительных режимах и ускоренном режиме, используя формулы (53) и (54).

5.20. Принять нагрузку на выходном звене на ускоренном режиме, удовлетворяющую условию по формуле (46).

5.21. Для многоканальных гидроприводов выполнить расчеты по пп. 3.26 – 3.35.

5.22. Расчетные данные режимов ускоренных ресурсных испытаний свести в табл. 5.

Таблица 5

Номер режима	Амплитуда перемещения выходного звена, мм	Нагрузка на выходном звене, Н (кгс)	Температура, °C		Количество циклов перемещений выходного звена	Частота перемещений выходного звена, Гц	Время испытаний на режиме, ч
			окружающей среды	рабочей жидкости			
1	A_y	$R_y^{min} \dots R_y^{max}$	$t_{okp.y}$	t_y	n_y	f_y	τ_y

5.23. Пример расчета режимов ускоренных ресурсных испытаний гидроприводов при $\bar{n}_y \neq \bar{n}_H$, $A_y \neq A_H$, $R_y \neq R_H$ приведен в справочном приложении 8.

6. РАСЧЕТ РЕЖИМА РАБОТЫ ГИДРОПРИВОДОВ С ПОСТОЯННЫМ УПРАВЛЯЮЩИМ СИГНАЛОМ ПРИ УСКОРЕННЫХ РЕСУРСНЫХ ИСПЫТАНИЯХ

6.1. Исходные данные, заданные в ТЗ (ТУ), должны быть внесены в табл. 6.

Таблица 6

Постоянная нагрузка на выходном звене, Н (кгс)	Время испытаний, ч	Температура, °C	
		рабочей жидкости	окружающей среды
R_H	$\tau_H = \tau_H^{CT}$	$t_H = t_{okp.H}$	
$R_y = R_H$	$\tau_y = \tau_y^{CT}$	$t_y = t_{okp.y}$	

6.2. Определить максимально допустимую температуру для рабочей жидкости t_{dop} и на ускоренном режиме принять $t_y \leq t_{dop}$.

6.3. Определить время испытаний на ускоренном режиме по формуле (15).

7. РАСЧЕТ РЕЖИМОВ УСКОРЕННЫХ ИСПЫТАНИЙ НА УСТАЛОСТЬ ОДНОКАНАЛЬНЫХ (ОДНОКАМЕРНЫХ) ГИДРОПРИВОДОВ

7.1. Исходные данные для расчета режимов ускоренных испытаний на усталость принимаются по ТЗ (ТУ) на гидропривод.

Режимы длительных ресурсных испытаний приведены в табл. 1. Аналогичные данные даются для входного звена, для полостей подачи и слива и др.

7.2. Произвести анализ конструкции гидропривода по схеме нагружения силовых деталей и в соответствии с классификацией групп деталей по материалу, из которого они изготовлены.

7.3. Для гидроприводов вращательного движения произвести экспериментальное определение нагрузок на режимах длительных ресурсных испытаний, заданных в ТЗ (ТУ), например, тензометрированием.

7.4. Определить переменные (R_{a_H}) и постоянные (R_{m_H}) составляющие нагрузки на каждом длительном режиме по формулам (19) и (20)

7.5. Определить приведенные нагрузки (R_{Hj}^{np}) на каждом длительном режиме по формуле (21) или (22).

7.6. При расчете режимов ускоренных испытаний на усталость на этапе проектирования, когда неизвестны коэффициенты концентрации напряжений, обусловленные конструкцией, коэффициент концентрации напряжений в амплитудной части нагрузки не учитывается.

7.7. При уточнении режимов ускоренных испытаний по результатам испытаний или прочностному расчету приведение нагрузок (напряжений) производить для критических деталей с учетом коэффициентов концентрации напряжений K_{G_D} :

$$R_{Hj}^{np} = K_{G_D} \left| R_{a_{Hj}} \right| + \psi \left| R_{m_{Hj}} \right|, \quad (55)$$

где K_{G_D} – коэффициент концентрации напряжений с учетом эксплуатационных, конструктивных и технологических факторов (контактная коррозия в среде, масштабный фактор, чистота обработки, химико-термическая обработка и т.д.)

7.8. Определить действующие напряжения σ_{Hj}^{np} на каждом длительном режиме по приведенным нагрузкам R_{Hj}^{np} для критических деталей

№ изм.
№ изв.

4835

Изв. № дубликата
Изв. № подлинника

7.9. Определить по действующим напряжениям σ_{Hj}^{np} ожидаемую долговечность N_j в соответствии с кривой усталости для критических деталей на каждом длительном режиме.

При отсутствии кривой усталости допускается оценка ожидаемой долговечности N_j по результатам испытаний аналогичных конструкций по формуле:

$$N_j = N_{\text{аналог}} \left(\frac{\sigma_j}{\sigma_{\text{аналог}}} \right)^m. \quad (56)$$

7.10. Принять эквивалентную нагрузку $R_{ЭКВ}$ для ускоренных испытаний на усталость и определить приведенную нагрузку $R_{ЭКВ}^{np}$ по формулам (21) и (22).

За эквивалентную нагрузку рекомендуется принимать: номинальное развиваемое усилие, максимальную эксплуатационную нагрузку, нагрузку на наиболее длительном режиме или нагрузку на режиме, вносящем наибольшее усталостное повреждение и др.

7.11. Определить эквивалентное число циклов нагружения $\Pi_{ЭКВ}$ для всех групп силовых деталей, классифицируемых по материалу, из которого они изготовлены, по формуле:

$$\Pi_{ЭКВ} = \sum_{j=1}^J \left(\frac{R_{Hj}^{np}}{R_{ЭКВ}^{np}} \right)^m \Pi_{Hj}, \quad (57)$$

где m – выбирается по рекомендуемому приложению 4 в зависимости от ожидаемой долговечности N_j .

7.12. Метод испытаний на условном эквивалентном режиме неприемлем при наличии в полете повторяющихся нагрузок высокого уровня (перегрузочный режим), вызывающих в конструкции напряжения на уровне предела текучести материала σ_{Q2} . В этом случае при испытаниях на выносливость следует проводить блочное нагружение гидропривода.

7.13. Допускается в случае большого машинного времени испытаний приведение к эквивалентному условному режиму всех режимов, кроме перегрузочных.

7.14. Расчет $\Pi_{ЭКВ}$ для деталей, напряжения в которых изменяются непропорционально нагрузке, должен производиться по приведенным напряжениям.

7.15. Расчетные данные по определению $\Pi_{ЭКВ}$ для всех групп деталей свести в табл. 7 и использовать при определении

Расчет усталостной долговечности по результатам испытаний на усталость приведен в разделе 9.

Таблица 7

Степень нагружения	Значение эквивалентной нагрузки		Эквивалентное число циклов нагружения $N_{экб}$
	силовой, Н (кгс)	давления, МПа (кгс/см ²)	
Нагрузка на выходном звене: а) для деталей, нагружаемых перепадом давления: - стальных - дюралевых - титановых б) для деталей, нагружаемых давлением: - стальных - дюралевых - титановых	$\pm R_{экб.вых}$		$N_{экб.ст}$ $N_{экб.дюр}$ $N_{экб.тит}$ $N'_{экб.ст}$ $N'_{экб.дюр}$ $N'_{экб.тит}$
Нагрузка на входном звене	$\pm R_{экб.вх}$		$N_{экб.вх}$
Давление в линии подачи	$0 \dots R_{экб.под}$		$N_{экб.под}$
Давление в линии слива	$0 \dots R_{экб.сл}$		$N_{экб.сл}$

Примечания: 1. При $R_{экб} = \pm R_{разб}$ перепад давления на эквивалентном режиме $\Delta P_{экб} = \pm (P_{под} - P_{сл})$; давление на эквивалентном режиме $P_{экб}^{max} = P_{под}$, $P_{экб}^{min} = P_{сл}$, где $P_{под}$ и $P_{сл}$ - давление в напорной и сливной гидролинии при $R_{разб}$.

2. Знак " \pm " обозначает знакопеременное нагружение.

7.16. Определить зачетное число циклов нагружения при испытании на усталость для защиты заданного ресурса по каждой группе деталей с учетом суммарного коэффициента надежности η_{Σ} по формуле:

$$\eta_y = \eta_{\Sigma} N_{экб}. \quad (58)$$

7.17. Результаты расчета \bar{N}_y по каждой группе деталей используются в случае разрушения деталей до наработки \bar{N}_y^{max} и при определении защищенного испытаниями ресурса по группам деталей

7.18. Расчет $\bar{N}_{экв}$ и \bar{N}_y не производится, если в техническом задании на гидропривод заданы требования по эквивалентным нагрузкам и эквивалентным циклам нагружения.

7.19. Определить коэффициент надежности в соответствии с нормами петной годности НЛГС-2 по формуле:

$$\bar{\gamma}_z = \bar{\gamma}_1 \bar{\gamma}_2 \bar{\gamma}_3 \bar{\gamma}_4, \quad (59)$$

где $\bar{\gamma}_1$ - коэффициент, учитывающий возможные неточности при составлении программы испытаний и при использовании расчетных методов для предварительной оценки срока службы;

$\bar{\gamma}_2$ - коэффициент, учитывающий место разрушения, характер разрушения и скорость распространения трещины,

$\bar{\gamma}_3$ - коэффициент, учитывающий достоверность данных о повторяемости нагрузок;

$\bar{\gamma}_4$ - коэффициент, учитывающий разброс циклической долговечности идентичных образцов.

$\bar{\gamma}_1 = 1$ при программе, наиболее полно отражающей картину повторяющихся в эксплуатации нагрузок как по величине, так и по последовательности их действия;

$\bar{\gamma}_1 = 1,5$, когда вся совокупность повторяющихся в эксплуатации нагрузок сведена в программе испытаний к какой-то последовательности условных циклов нагрузки с использованием при этом соответствующих расчетных методов для оценки сделанного приведения;

$\bar{\gamma}_1 = 2$ при предварительной оценке срока службы расчетом;

$\bar{\gamma}_2 = 1$, если трещина началась в месте, доступном для наблюдения, не затрагивает в начале развития основные силовые детали конструкции и распространяется медленно;

$\bar{\gamma}_2 = 1,2$ - во всех других случаях (практически для всех гидроприводов должно быть $\bar{\gamma}_2 = 1,2$);

$\bar{\gamma}_3 = 1,0$, если используются данные о повторяемости нагрузок, полученные в полете за сравнительно большой период эксплуатации в различных условиях;

$\eta_3 = 1,5$ - во всех остальных случаях;
 η_4 принимается в зависимости от количества испытанных образцов по табл. 8.

Таблица 8

Количество образцов	Коэффициент надежности η_4
1	5,0
2	4,0
3	3,5
4	3,2
5	3,1
6	3,0

7.20. Коэффициенты η_1 и η_3 учитываются в заданных на гидропривод режимах ресурсных испытаний. При расчете $P_{экб}$ по режимам ресурсных испытаний, заданным в техническом задании, следует принимать $\eta_{\Sigma} = \eta_2 \eta_4$. В случае расчета $P_{экб}$ по режимам нагружения, соответствующим типовому полету, определенному на основании летных статистических данных, следует анализировать и учитывать при определении η_{Σ} коэффициенты $\eta_1, \eta_2, \eta_3, \eta_4$.

При испытании по блочной программе, реализующей нагрузки типового полета, полученные на основании статистических данных при определении η_{Σ} следует учитывать η_2 и η_4 . Если блочная программа реализует нагрузки режимов ресурсных испытаний, заданные в ТЗ, то $\eta_{\Sigma} = \eta_2 \eta_4$. Допускается принимать $\eta_2 = 1$ при наличии обоснованного анализа надежности.

7.21. Разрешается для сокращения машинного времени испытаний увеличение частоты циклов с сохранением нагруженности гидропривода, контролируемой экспериментально, например, тензометрированием. Увеличение частоты циклов, влияющее на характеристики сопротивления усталости материалов, должно учитываться при определении $P_{экб}$.

7.22. Расчетные данные режимов ускоренных испытаний на усталость свести в табл. 9.

Таблица 9

Ступень нагружения	Значение эквивалентной нагрузки		Число циклов нагружения	Частота циклов, Гц	Время испытаний, ч
	силовой, Н (кгс)	давления, МПа (кгс/см ²)			
Нагрузка на выходном звене	$\pm R_{экв. вых}$	$n_{у.вых}^{max}^*$	$f_{у.вых}$	$T_{у.вых}$	
Нагрузка на входном звене	$\pm R_{экв. вх}$	$n_{у.вх}$	$f_{у.вх}$	$T_{у.вх}$	
Давление в линии подачи	$0...P_{экв. под}$	$n_{у.под}$	$f_{у.под}$	$T_{у.под}$	
Давление в линии слива	$0...P_{экв. сл}$	$n_{у.сл}$	$f_{у.сл}$	$T_{у.сл}$	

* $n_{у.вых}^{max}$ - см. п. 7.16.

8. РАСЧЕТ РЕЖИМОВ УСКОРЕННЫХ ИСПЫТАНИЙ НА УСТАЛОСТЬ МНОГОКАНАЛЬНЫХ (МНОГОКАМЕРНЫХ) ГИДРОПРИВОДОВ

8.1. Определить эквивалентное число циклов нагружения эквивалентными нагрузками, реализующими нагружение внешними усилиями за назначенный ресурс, в соответствии с разделом 7.

8.2. Определить экспериментально (например, тензометрированием) напряжение в опасных сечениях цилиндровой группы или давление рабочей жидкости в полостях силового цилиндра и перепады давления на поршне для каждого канала и между каналами гидропривода на длительных режимах для регулировки нейтрального положения золотников в пределах требований ТУ, дающих наибольшее нагружение внутренними силами, и составить табл. 10.

8.3. Определить переменные ΔP_{aj} и постоянные ΔP_{mj} , составляющие изменения перепада давления рабочей жидкости на поршне каждого канала (между каналами) на каждом длительном режиме по формулам (35) и (36).

8.4. Определить приведенные значения давления (перепады давления) в каждой полости (канале) на каждом длительном режиме по формулам (33) и (37).

8.5. Задать изменение давления в полостях гидропривода на эквивалентном режиме. Рекомендуется принимать на эквивалентном режиме изменение давления в полостях от номинального давления слива до номинального или рабочего по ТУ давления рабочей жидкости на входе в гидропривод ($P_{ном.сл}...P_{под}$).

Инв № дубликата	
Инв № подлинника	4835

Лит изм.									
№ изв.									

Таблица 10

Режим испытания	Давление рабочей жидкости, МПа (кгс/см ²)											
	Канал I						Канал II					
	Полость 1		Полость 2		Поршень 1		Полость 1		Полость 2		Поршень 2	
	P_{I-1}^{\max}	P_{I-1}^{\min}	P_{I-2}^{\max}	P_{I-2}^{\min}	ΔP_I^{\max}	ΔP_I^{\min}	P_{II-1}^{\max}	P_{II-1}^{\min}	P_{II-2}^{\max}	P_{II-2}^{\min}	ΔP_{II}^{\max}	ΔP_{II}^{\min}
Длительный (по ТУ)												
Ускоренный												

8.6. Определить приведенное давление при ускоренных испытаниях по формуле (33).

8.7. Определить для каждой полости гидропривода эквивалентное число циклов нагружения по всем группам деталей, нагружаемых давлением

$$\pi_{экб} = \sum_{j=1}^J \left(\frac{P_{H \max j}^{pr}}{P_{экб}^{pr}} \right)^m \pi_{Hj}. \quad (60)$$

Выбрать $P_{экб} = P_{экб}^{max}$ по каждой группе деталей по всем полостям. Деталями гидропривода, нагруженными давлением в полостях гидропривода, являются цилиндры, корпусы, распределительные устройства, цилиндровые втулки, гайки, болты и др.

8.8. Задать перепад давления рабочей жидкости на поршне и между каналами на эквивалентном режиме ($\Delta P_{экб}$). При этом следует исходить из принятого в п. 8.5 давления испытания, т.е. $\Delta P_{экб} = \pm (P_{ном.сл} \dots P_{под})$, где знак «±» понятие условное, обозначающее знакопеременное нагружение.

8.9. Определить для каждого канала эквивалентное число циклов нагружения по всем группам деталей, нагружаемых перепадом давления

$$\pi_{экб} = \sum_{j=1}^J \left(\frac{\Delta P_{H \ max j}^{pr}}{\Delta P_{экб}^{pr}} \right)^m \pi_{Hj}. \quad (61)$$

Выбрать $P_{экб} = P_{экб}^{max}$ по каждой группе деталей по всем каналам. Деталями гидропривода, нагруженными перепадом давления, являются поршни, участки штока между поршнями, втулки между каналами и др.

8.10. Расчетные данные по определению $\pi_{экб}$ по всем видам нагружения для всех групп деталей свести в табл. 7.

8.11. Определить зачетное число циклов нагружения при испытании на усталость для защиты заданного ресурса по максимальной величине $\pi_{экб}$ по пп. 8.7, 8.9 с учетом коэффициента надежности η_{Σ} по формуле (58).

Выбрать $\pi_y = \pi_y^{max}$ с учетом п. 7.17.

№ изм.	№ изм.
Изв. № дубликата	Изв. № подлинника
4835	

8.12. Расчетные данные режимов ускоренных испытаний на усталость свести в табл. 11.

Таблица 11

Ступень нагружения	Значение эквивалентной нагрузки		Число циклов нагружения	Частота циклов, Гц	Время испытаний, ч
	силовой, Н (кгс)	давления, МПа (кгс/см ²)			
Нагрузка на выходном звене	$\pm R_{экв. вых}$	$P_{у.вых}$	$f_{у.вых}$	$t_{у.вых}$	
Нагрузка на входном звене	$\pm R_{экв. вх}$	$P_{у.вх}$	$f_{у.вх}$	$t_{у.вх}$	
Давление в линии подачи	$0...R_{экв. под}$	$P_{у.под}$	$f_{у.под}$	$t_{у.под}$	
Давление в линии слива	$0...R_{экв. сл}$	$P_{у.сл}$	$f_{у.сл}$	$t_{у.сл}$	
Переменное давление в по- стях	$P_{ном. сл}...P_{ном. под}$	$P_{у}^{max}$	f_y	$t_{у.пол}$	

8.13. Пример расчета режимов ускоренных испытаний многоканальных гидроприводов на усталость приведен в справочном приложении 9.

9. РАСЧЕТ УСТАЛОСТНОЙ ДОЛГОВЕЧНОСТИ ПО РЕЗУЛЬТАТАМ ИСПЫТАНИЙ НА УСТАЛОСТЬ

9.1. С целью своевременного выявления разрушений в гидроприводе испытания на усталость проводятся в несколько блоков. В каждом блоке реализуется наработка различного числа циклов по группам деталей гидропривода. Переработка по циклам для некоторых групп деталей учитывается при установлении их усталостной долговечности.

9.2. Перед началом испытаний и после каждого блока необходимо провести контрольные проверки параметров гидропривода, выявляющие разрушение силовых деталей.

9.3. Перед отработкой ступени нагружения в каждом блоке производится контроль фактических нагрузок на ускоренной частоте циклов нагружения.

9.4. После наработки числа циклов, необходимого для подтверждения ресурса до первого ремонта, межремонтного и назначенного ресурсов, или после наработки до базы испытаний, равной $5 \cdot 10^7$ циклов, производится разборка гидропривода, осмотр и дефектация деталей.

9.5. Гидропривод считается выдержавшим испытания на усталость, если наработка при испытаниях с разрушениями или без них защищает заданный ресурс

9.6. Производится расчет усталостной долговечности для каждой группы деталей и отдельных разрушившихся деталей по следующей формуле:

$$T = T_{PM} \frac{N_{csp}}{N_{ekb} \eta_{\Sigma}}, \quad (62)$$

где T_{PM} - защищаемый по программе ресурс в летных часах (в часах полета);

N_{ekb} - эквивалентное число циклов в защиту ресурса T_{PM} для рассматриваемой группы деталей (см. табл. 7);

N_{csp} - отработанное число циклов при испытании на усталость для рассматриваемой группы деталей, максимальное в случае испытаний без разрушения или среднеарифметическое в случае испытаний с разрушением;

η_{Σ} - коэффициент надежности для рассматриваемой группы деталей, выбираемой в соответствии с требованиями раздела 7.

Инв № дубликата		№ ИЗМ.	
		№ ИЗВ	

Инв № подлинника	4835
------------------	------

ПРИЛОЖЕНИЕ 1
Справочное

ТЕРМИНЫ И ИХ ОПРЕДЕЛЕНИЯ

Термин	Определение
Ускоренные испытания	По ГОСТ 16504-74
Критические дефекты	По ГОСТ 15467-79
По сопротивлению усталости	По ГОСТ 23207-78
Несущая способность конструкции	Способность конструкции воспринимать действия какого-то количества нагрузений, определяемого по моменту разрушения
Силовые детали конструкции	Детали, испытывающие нагружение механической нагрузкой при работе гидропривода
Критичные детали	Детали с наименьшей несущей способностью по какому-либо фактору разрушения (износу, старению, сопротивлению усталости и др.)
Идентичные изделия	Детали, сборочные единицы или гидроприводы в целом, изготовленные по одной документации и имеющие при испытаниях по одной программе одинаковые напряжения
Многоканальный (многокамерный) гидропривод	Гидропривод, состоящий из параллельно или последовательно расположенных гидроцилиндров с дросселирующими распределительными устройствами, объединенными общим входным звеном
Нагружение внутренними силами в многоканальных (многокамерных) гидроприводах	Нагружение, обусловленное рассогласованием распределительных устройств
Эквивалентное нагружение гидропривода	Нагружение на условном (эквивалентном) режиме, суммарное усталостное повреждение на котором равно повреждению гидропривода за время ресурса

№ ИЗМ.
№ ИЗВ.

4835

№ дубликата
№ подлинника

ПРИЛОЖЕНИЕ 2
Обязательное

УСЛОВНЫЕ БУКВЕННЫЕ ОБОЗНАЧЕНИЯ ПАРАМЕТРОВ

- τ – время испытаний
- $\tau_{ст}$ – время старения
- τ^P – время (периодичность) регламентных работ
- v – скорость движения выходного звена
- t – температура рабочей жидкости
- $t_{окр}$ – температура окружающей среды
- Δt_K – приращение температуры в резиновом уплотнении подвижного соединения с увеличением скорости
- A – амплитуда хода выходного звена
- n – количество циклов перемещений выходного звена или число циклов нагружения
- σ – напряжение в силовых деталях
- R – нагрузка
- P – давление рабочей жидкости
- P_n – давление рабочей жидкости в напорной гидролинии
- $P_{сл}$ – давление рабочей жидкости в сливной гидролинии
- R_u – инерционная нагрузка на выходном звене
- M – инерционная масса, приведенная к выходному звуену
- $K_{ст}$ – коэффициент старения резиновых уплотнений, характеризующий скорость старения резины при увеличении температуры на каждый 10°C в данном интервале температур $[(t_y + \Delta t_K) - t_H]$
- f – частота перемещения выходного звена (частота циклов)
- τ_u – время цикла
- K_t – коэффициент, учитывающий изменение предела выносливости σ_{-f} при изменении температуры испытаний, $K_t = \frac{\sigma_{-1\tau_u}}{\sigma_{-1\tau}}$,
 $(K_t \approx 1 \text{ для алюминиевых сплавов при температуре до } 120^{\circ}\text{C, для стальных и титановых материалов – при температуре до } 250^{\circ}\text{C})$
- α – показатель степени кривой усталости уплотнения
- α_f – показатель степени кривой зависимости износа от температуры уплотнения в процессе трения
- b – показатель степени кривой зависимости силы трения (уплотнение – шток) от скорости движения выходного звена ($b = -0,1$)

$\gamma\gamma$ - показатель степени кривой усталости материала силовых деталей (линейно изменяющаяся функция)

C - коэффициент пропорциональности ($C = 0,1 {}^{\circ}\text{C} \cdot \text{с}/\text{мм}$)

D - показатель накопления усталостных повреждений в силовых деталях

γ' - показатель степени кривой зависимости силы трения от давления рабочей жидкости ($\gamma' = 0,4$)

σ_f - временное сопротивление материала при растяжении

N - циклическая долговечность

ψ - коэффициент чувствительности к асимметрии цикла выбирается для каждого режима (см. рекомендуемое приложение 5):

- для сталей - в зависимости от предела прочности;
- для легких сплавов - в зависимости от ожидаемой циклической долговечности и отношения амплитуды напряжения (переменной составляющей нагрузки) к среднему напряжению (постоянной составляющей нагрузки)

$t_{\text{дан}}$ - максимально допустимая температура

$R_{\text{экв}}$ - нагрузка на условном (эквивалентном) режиме

Индекс "н" при буквенных обозначениях относится к длительным испытаниям, индекс "у" - к ускоренным.

№ изн.
№ изн.

4835

Инв. № дубликата
Инв. № подлинника

КОЭФФИЦИЕНТЫ СТАРЕНИЯ (K_{cT}) РЕЗИНОВЫХ УПЛОТНЕНИЙ

Интервал температур, °C	Резиновая смесь										
	B-14	B-14-1	ИРП-1078	ИРП-1054	НО-68-1	ИРП-1353; 51-1668 НТА	BP-7	ИРП-1287	ИРП-1316	ИРП-1375	ИРП-1377
От 50 до 60 включ.	2,37	2,27	2,31	1,82	3,19	2,30	-	2,05	-	2,03	1,94
Св. 60 до 70 "	2,23	2,20	2,60	2,20	2,82	2,18	-	1,90	-	1,95	1,87
" 70 " 80 "	2,15	2,16	2,99	2,63	2,65	2,06	-	1,84	1,74	1,87	1,80
" 80 " 90 "	2,11	2,12	3,34	3,04	2,52	1,95	-	1,79	1,73	1,81	1,75
" 90 " 100 "	2,00	2,10	-	-	2,44	1,87	-	1,69	1,73	1,75	1,69
" 100 " 110 "	1,90	2,08	-	-	2,38	1,80	-	1,65	1,73	1,26	1,23
" 110 " 120 "	-	2,00	-	-	-	1,72	-	1,64	1,65	1,25	1,22
" 120 " 130 "	-	1,92	-	-	-	1,65	-	1,61	1,60	1,23	1,20
" 130 " 140 "	-	1,92	-	-	-	1,61	-	1,55	1,59	-	-
" 140 " 150 "	-	-	-	-	-	1,59	-	1,53	1,58	-	-
" 150 " 160 "	-	-	-	-	-	1,60	-	1,58	1,57	-	-
" 160 " 170 "	-	-	-	-	-	1,67	-	1,63	1,58	-	-
" 170 " 180 "	-	-	-	-	-	1,80	2,40	1,68	1,58	-	-
" 180 " 190 "	-	-	-	-	-	1,96	2,34	1,72	1,59	-	-
" 190 " 200 "	-	-	-	-	-	2,20	2,30	1,75	1,60	-	-
" 200 " 210 "	-	-	-	-	-	-	-	1,78	-	-	-
" 210 " 220 "	-	-	-	-	-	-	-	1,80	-	-	-

№ инк.

48835

Нар. № Аттестата
Нар. № подтверждения

ПРИЛОЖЕНИЕ 4
Рекомендуемое

ПОКАЗАТЕЛИ СТЕПЕНИ α , α_1 И η

1. Показатель степени α кривой усталости уплотнения приведен в табл. 1.

Таблица 1

Марка материала уплотнения	α
В-14, В-14-1, ИРП-1078, ИРП-1054, ИРП-1353, НО-68-1, 51-1668 НТА	2,40
ВР-7	
ИРП-1287	3,85
ИРП-1316	
ИРП-1375	4,90
ИРП-1377	
Фторопласт	2,40

2. Показатель степени α_1 кривой зависимости износа уплотнения от температуры в процессе трения приведен в табл. 2.

Таблица 2

Интервал температур	α_1
$(t_y + \Delta t_K) \leq 65^\circ\text{C}$	0
$65^\circ\text{C} < (t_y + \Delta t_K) < 100^\circ\text{C}$	$\alpha \frac{(t_y + \Delta t_K) - 65}{35}$
$(t_y + \Delta t_K) \geq 100^\circ\text{C}$	α

3. Показатель степени η приведен в табл. 3.

Таблица 3

Материал	Ожидаемая циклическая долговечность N	Показатель степени η
Сталь	До $3 \cdot 10^5$	4
	10^6	5
	10^7	7
	10^8	9
	$3 \cdot 10^8$ и более	10

Продолжение табл. 3

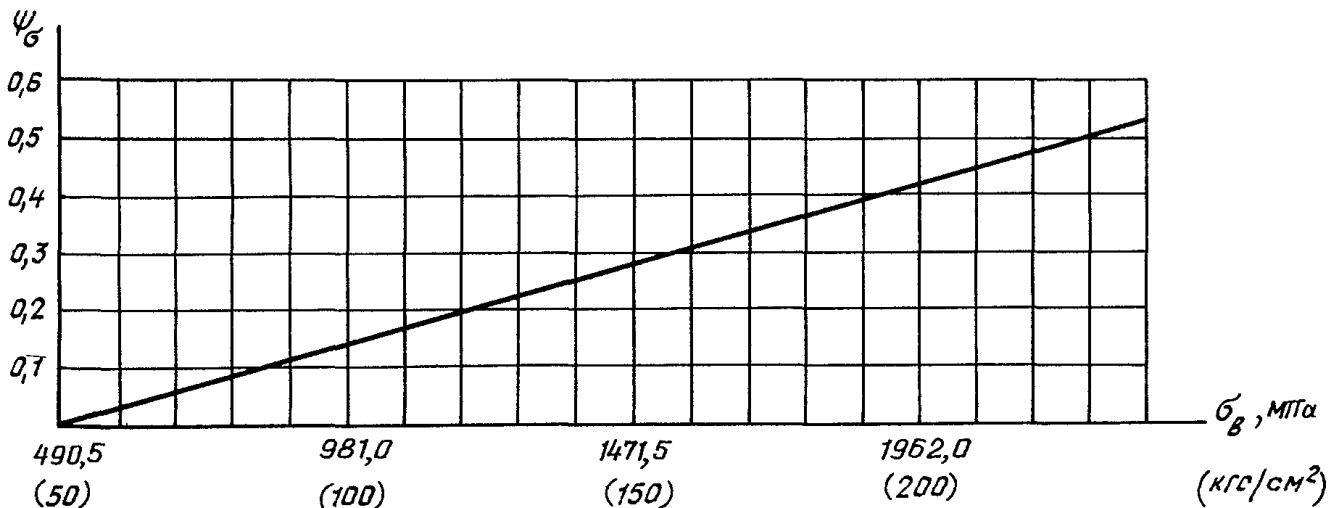
Материал	Ожидаемая циклическая долговечность N	Показатель степени $\eta\eta$
Алюминиевые сплавы	До $3 \cdot 10^5$	3
	10^6	4
	10^7	6
	10^8	8
	10^9 и более	10
Титановые сплавы	До $3 \cdot 10^5$	4
	10^6	5
	10^7	7
	10^8	9
	$3 \cdot 10^8$ и более	10

При промежуточных значениях ожидаемой циклической долговечности показатель степени $\eta\eta$ определяется линейной интерполяцией.

Ннв. № дубликата	
Ннв. № подлинника	4835

№ изм.									
№ изв.									

1. Значения коэффициента ψ_6 чувствительности к асимметрии цикла напряжений для сталей выбираются по графику на черт. 1.



Черт. 1

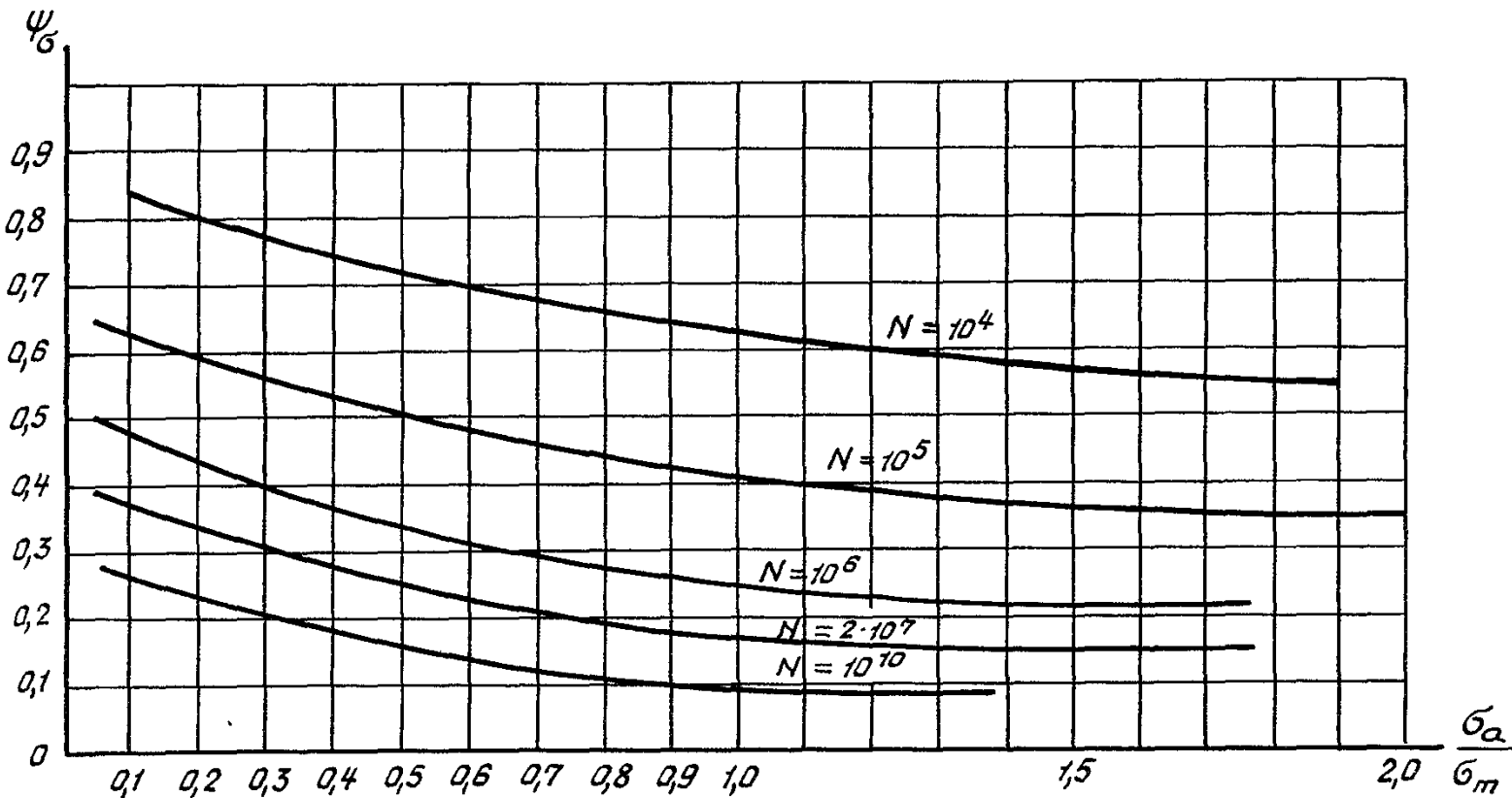
ОПРЕДЕЛЕНИЕ КОЭФФИЦИЕНТА ЧУВСТВИТЕЛЬНОСТИ

ПРИЛОЖЕНИЕ 5
Рекомендуемое

Ннв. № дубликата	
Ннв. № подлинника	4835

№ изм.						
№ изв.						

2. Значения коэффициента ψ_{σ} чувствительности к асимметрии цикла напряжений для ковочных алюминиевых сплавов типа АК-4 выбираются по графику на черт. 2.

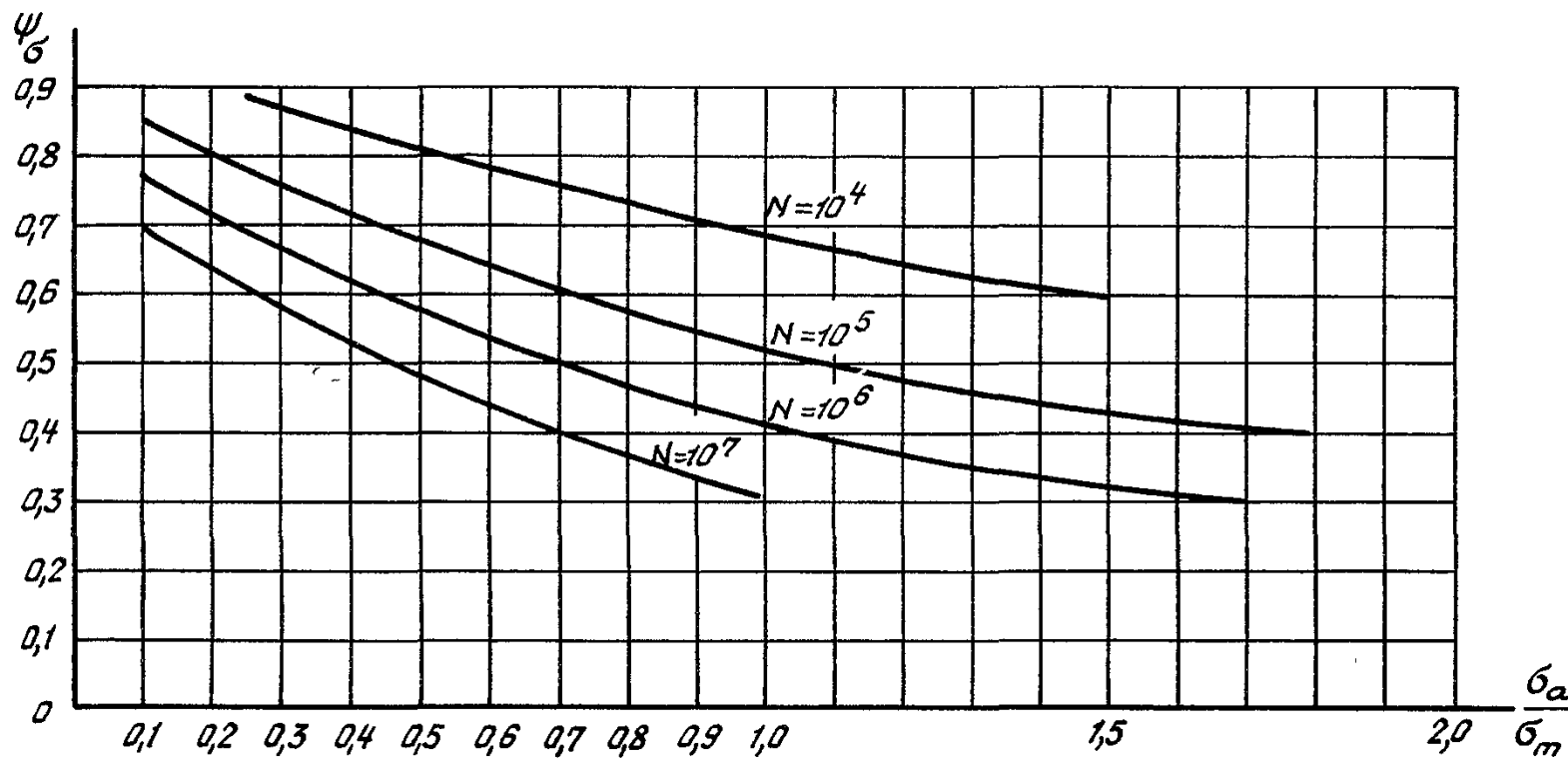


Черт 2

Инв. № дубликата	
Инв. № подлинника	4835

№ изм.											
№ изв.											

3. Значения коэффициента ψ_{σ} чувствительности к асимметрии цикла напряжений
для пилейных алюминиевых сплавов типа АЛ-9 выбираются по графику на черт. 3

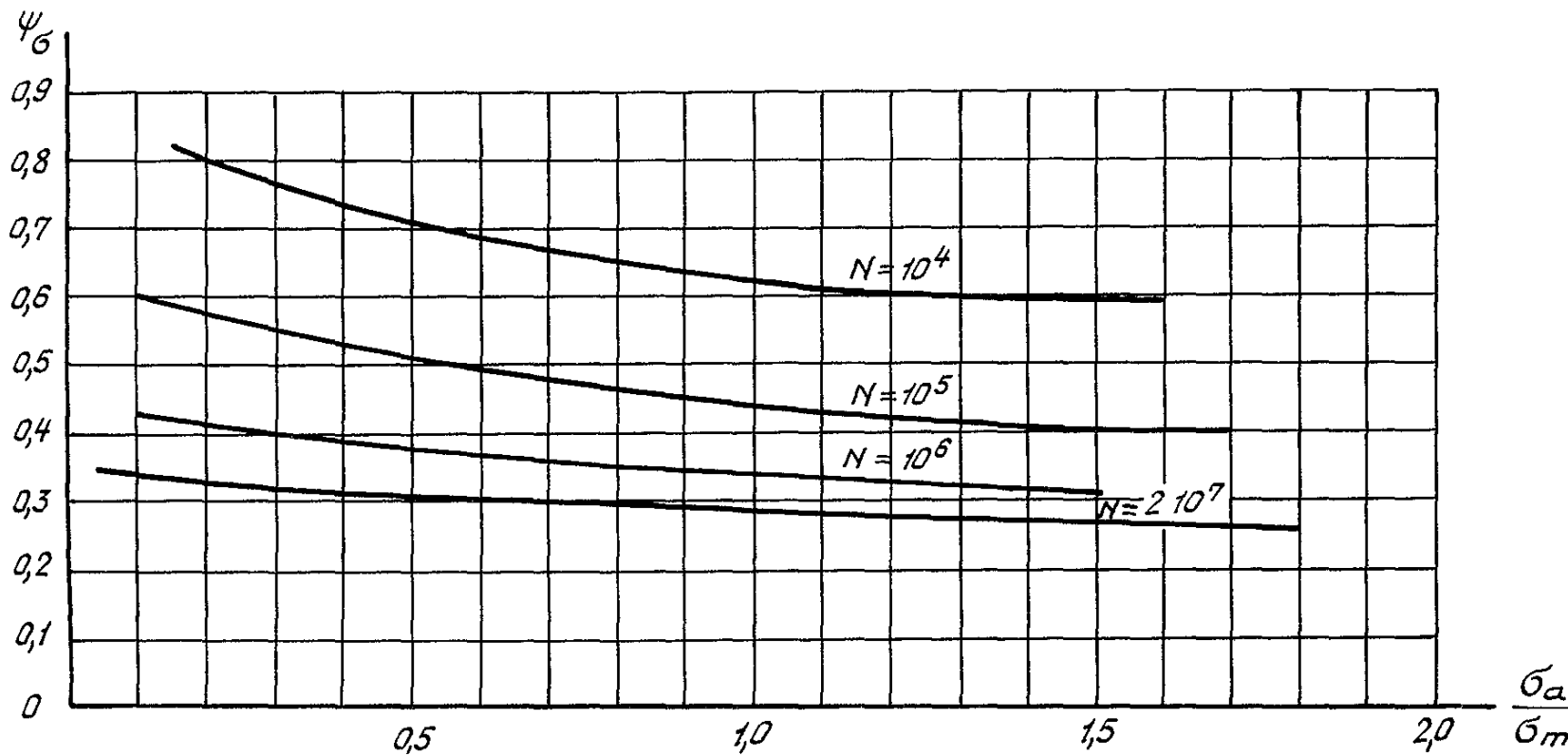


Черт 3

Инв. № дубликата	
Инв. № подлинника	4835

№ изм.									
№ изм.									

4. Значения коэффициента ψ_G чувствительности к асимметрии цикла напряжений для высокопрочных алюминиевых сплавов типа В-95 выбираются по графику на черт. 4.



Черт 4

ПРИЛОЖЕНИЕ 6
СправочноеПРИМЕР РАСЧЕТА РЕЖИМОВ УСКОРЕННЫХ РЕСУРСНЫХ
ИСПЫТАНИЙ ГИДРОПРИВОДОВ ПРИ $A_y = A_H, \pi_y \neq \pi_H, R_y \neq R_H$

1. Исходные данные для расчета режимов ускоренных ресурсных испытаний приведены в табл. 1 и на черт. 1.

Таблица 1

Номер режима	Амплитуда перемещения выходного звена, мм	Нагрузка на выходном звене, Н (кгс)	Температура, °C		Кол. циклов перемещений выходного звена	Частота перемещений выходного звена, Гц	Время испытаний на режиме, ч
			окружающей среды	рабочей жидкости			
1	10 ± 1	$\pm 98 \quad \pm 98$ $(\pm 100 \pm 10)$	25 ± 10	80 ± 10	10900	0,30	10
2	25 ± 2			70 ± 10	6000	0,16	
3	5 ± 1			См. черт. 1	248400	0,30	230

Итого: 265300 циклов за 250 ч.

Максимально развиваемое усилие $R_{max} = 1962$ Н (200 кгс) при скорости движения звена $\dot{\varphi} = 0$.

Максимальная скорость выходного звена $\dot{s}_{max} = 125$ мм/с; при $R = 0$.

Уплотнения - из резиновой смеси ИРП-1353.

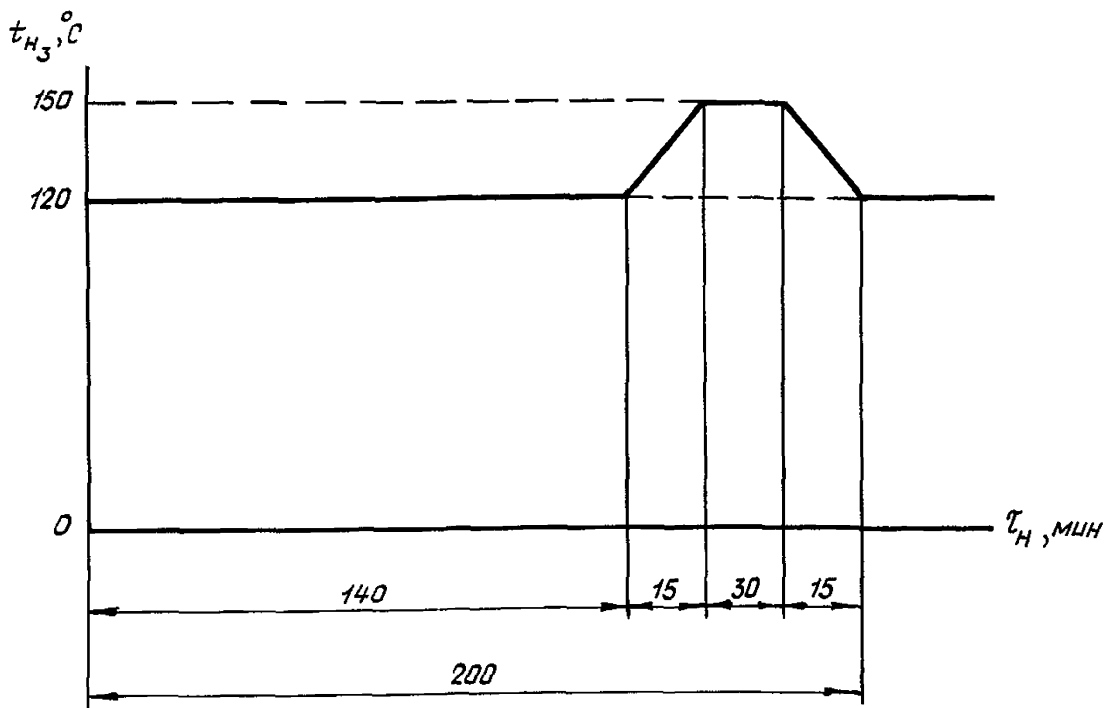
Выходные подшипники - типа ШН.

Количество каналов - 1.

Материал выходного звена - сталь.

№ дубликата	4835
№ подлинника	

График циклической выдержки температуры
рабочей жидкости на режиме 3



Черт. 1

2. Давление рабочей жидкости оставляем без изменения $P_Y = P_H$.

3. Определяем скорость движения выходного звена для каждого режима:

$$v_{H_j} = 2\pi f_{H_j} A_{H_j};$$

$$v_{H_1} = 2 \cdot 3,14 \cdot 0,3 \cdot 10 = 19,0 \text{ мм/с};$$

$$v_{H_2} = 2 \cdot 3,14 \cdot 0,16 \cdot 25 = 26,2 \text{ мм/с};$$

$$v_{H_3} = 2 \cdot 3,14 \cdot 0,3 \cdot 5 = 9,5 \text{ мм/с}.$$

4. Определяем максимально допустимую скорость движения выходного звена в соответствии с нагрузочной характеристикой гидропривода для каждого режима:

$$v_{R_{H_j}} = \frac{v_{max}}{\sqrt{R_{max} - R_{H_j}}};$$

$$v_{R_{H_1}} = \frac{125}{\sqrt{1962}} \sqrt{1962 - 981} = 88,7 \text{ мм/с};$$

$$\left(v_{R_{H_1}} = \frac{125}{\sqrt{200}} \sqrt{200 - 100} = 88,7 \text{ мм/с} \right).$$

Так как нагрузка на выходном звене на всех трех режимах одинакова и равна 981 Н (100 кгс), то максимально допустимые скорости на всех трех режимах равны между собой, а именно:

$$v_{R_{H_1}} = v_{R_{H_2}} = v_{R_{H_3}} = 88,7 \text{ мм/с.}$$

5 Определяем скорость движения выходного звена для каждого ускоренного режима:

$$v_{y_1} = 0,9 v_{R_{H_1}} = 0,9 \cdot 88,7 \approx 80 \text{ мм/с; } v_{y_2} = v_{y_3} = 80 \text{ мм/с.}$$

Для режима 3 принимается степень ускорения ≈ 6 . В этом случае v_{y_3} принять равной 60 мм/с.

6. Определяем приращение температуры в резиновом уплотнении от увеличения скорости движения выходного звена для каждого ускоренного режима

$$\Delta t_{K_j} = C (v_{y_j} - v_{H_j}),$$

где $C = 0,1 {}^{\circ}\text{C} \cdot \text{с/мм};$

$$\Delta t_{K_1} = 0,1(80-19) = 6,1 {}^{\circ}\text{C};$$

$$\Delta t_{K_2} = 0,1(80-26,2) = 5,4 {}^{\circ}\text{C};$$

$$\Delta t_{K_3} = 0,1(60-9,5) = 5,0 {}^{\circ}\text{C}.$$

7. Выбираем температуру рабочей жидкости для каждого режима:

- для режима 1: $v_{y_1} \approx 4 v_{H_1}; t_{y_1} = t_{H_1} + 20 {}^{\circ}\text{C} = 80 + 20 = 100 {}^{\circ}\text{C};$

- для режима 2: $v_{y_2} \approx 3 v_{H_2}; t_{y_2} = t_{H_2} + 15 {}^{\circ}\text{C} = 70 + 15 = 85 {}^{\circ}\text{C};$

- для режима 3: $v_{y_3} \approx 6 v_{H_3}; t_{y_3} = t_{H_3} + 35 {}^{\circ}\text{C},$

где $t'_{H_3} = 120 {}^{\circ}\text{C};$

$t''_{H_3} = 150 {}^{\circ}\text{C};$

$t'''_{H_3} = \frac{120+150}{2} = 135 {}^{\circ}\text{C};$

$t'_{y_3} = 120 + 35 = 155 {}^{\circ}\text{C};$

$t''_{y_3} = 150 + 35 = 185 {}^{\circ}\text{C};$

$t'''_{y_3} = \frac{155+185}{2} = 170 {}^{\circ}\text{C}.$

8. Выбираем коэффициенты старения K_{CT} для резиновой смеси ИРП-1353 при соответствующих интервалах температур с учетом Δt_K :

от 70 до 80°C $K_{CT}=2,06$; от 80 до 90°C $K_{CT}=1,95$;

от 90 до 100°C $K_{CT}=1,87$; от 100 до 110°C $K_{CT}=1,80$;

от 120 до 130°C $K_{CT}=1,65$; от 130 до 140°C $K_{CT}=1,61$;

от 140 до 150°C $K_{CT}=1,59$; от 150 до 160°C $K_{CT}=1,60$;

от 160 до 170°C $K_{CT}=1,67$; от 170 до 180°C $K_{CT}=1,80$;

от 180 до 190°C $K_{CT}=1,96$.

9. Определяем произведение коэффициентов старения:

$$\prod_{j=1}^i K_{CT_j} = K_{CT_1}^{0,1 \Delta t_1} K_{CT_2}^{0,1 \Delta t_2} \dots K_{CT_{i-1}}^{0,1 \Delta t_{i-1}} K_{CT_i}^{0,1 \Delta t_i};$$

$$\prod K_{CT_1} = 1,95 \cdot 1,87 \cdot 1,80^{0,61} = 5,2 \text{ в интервале } 80,0-106,1^{\circ}\text{C};$$

$$\prod K_{CT_2} = 2,06 \cdot 1,95 \cdot 1,87^{0,04} = 4,1 \text{ в интервале } 70,0-90,4^{\circ}\text{C};$$

$$\prod K_{CT_3} = 1,65 \cdot 1,61 \cdot 1,59 \cdot 1,60 = 6,75 \text{ в интервале } 120-160^{\circ}\text{C};$$

$$\prod K_{CT_3}'' = 1,60 \cdot 1,67 \cdot 1,80 \cdot 1,96 = 9,45 \text{ в интервале } 150-190^{\circ}\text{C};$$

$$\prod K_{CT_3}''' = 1,61^{0,5} \cdot 1,59 \cdot 1,60 \cdot 1,67 \cdot 1,80^{0,5} = 7,2 \text{ в интервале } 135-175^{\circ}\text{C}.$$

10. Для соблюдения фактора эквивалентности по старению резиновых уплотнений ($\mathcal{V}_{y_f}^{CT} = \mathcal{V}_y$) уточняем скорость движения выходного звена \mathcal{V}_y при $t_y = \text{const}$ для каждого ускоренного режима:

$$\mathcal{V}_{y_f}' = \mathcal{V}_{H_f} \left[\prod_{j=1}^i K_{CT_j} \left(\frac{t_{H_j}}{t_{y_f} + \Delta t_{K_j}} \right)^{\alpha_j} \right]^{\frac{1}{1+\alpha b}},$$

где $\alpha_{1_1} = \alpha_{1_3} = 2,4$;

$$\alpha_{1_2} = \frac{\alpha (t_y + \Delta t_K - 65)}{35} = \frac{2,4 (90,4 - 65)}{35} = 1,74;$$

$$\mathcal{V}_{y_f}' = 19 \left[5,2 \left(\frac{80}{100+6,1} \right)^{2,4} \right]^{\frac{1}{1-0,24}} = 68,0 \text{ мм/с};$$

$$v_{y_2}' = 26,2 \left[4,1 \left(\frac{70}{85+5,4} \right)^{1,74} \right]^{\frac{1}{1-0,24}} = 93,5 \text{ мм/с};$$

$$v_{y_3}' = 9,5 \left[6,75 \left(\frac{120}{155+5} \right)^{2,4} \right]^{\frac{1}{1-0,24}} = 47,5 \text{ мм/с};$$

$$v_{y_3}'' = 9,5 \left[9,45 \left(\frac{150}{185+5} \right)^{2,4} \right]^{\frac{1}{1-0,24}} = 85,0 \text{ мм/с};$$

$$v_{y_3}''' = 9,5 \left[7,2 \left(\frac{132}{170+5} \right)^{2,4} \right]^{\frac{1}{1-0,24}} = 56,0 \text{ мм/с.}$$

Таким образом, эквивалентность режимов длительных и ускоренных испытаний выполняется при следующих значениях скоростей:

$v_{y_1}' = 68 \text{ мм/с}; v_{y_2}' = 93,5 \text{ мм/с}; v_{y_3}' = 60 \text{ мм/с}$ – средняя скорость на режиме 3.

При значениях скоростей $v_{y_1} = 80 \text{ мм/с}, v_{y_2} = 80 \text{ мм/с}, v_{y_3} = 60 \text{ мм/с}$, определенных в п. 5 настоящего приложения, имеем: на режиме 1 – недостаривание уплотнений, на режиме 2 – перестаривание уплотнений. Разрешается пересчет эквивалентности по старению не производить, если суммарный допуск по старению на всех режимах не превышает $\pm 5\%$.

11. Определяем частоту перемещения выходного звена для каждого ускоренного режима при условии $A_{y_f} = A_{H_f}$:

$$f_{y_f} = \frac{v_{y_f}}{2\pi A_{y_f}};$$

$$f_{y_1} = \frac{80}{2 \cdot 3,14 \cdot 10} = 1,27 \text{ Гц};$$

$$f_{y_2} = \frac{80}{2 \cdot 3,14 \cdot 25} = 0,51 \text{ Гц};$$

$$f_{y_3} = \frac{60}{2 \cdot 3,14 \cdot 5} = 1,91 \text{ Гц.}$$

12. Определяем количество циклов перемещений выходного звена для каждого ускоренного режима

$$n_{y_j} = n_{H_j} \left(\frac{v_{H_j}}{v_{y_j}} \right)^{ab} \left(\frac{t_{H_j}}{t_{y_j} + \Delta t_{K_j}} \right)^{a_1};$$

$$n_{y_1} = 10900 \left(\frac{19}{80} \right)^{-0,24} \left(\frac{80}{106,1} \right)^{2,4} = 7840;$$

$$n_{y_2} = 6000 \left(\frac{26,2}{80} \right)^{-0,24} \left(\frac{70}{90,4} \right)^{1,74} = 5020.$$

Для длительного режима 3 определяем количество температурных циклов:

$$n_{H_3}^t = \frac{\tau_{H_3}}{\tau_{y_3}^t} = \frac{230 \cdot 60}{200} = 69.$$

Определяем время испытаний на каждом подрежиме длительного режима 3:

$$\tau_{H_3}^i = \tau_{H_3}^i n_{H_3}^t; \quad \tau_{H_3}' = \frac{140}{60} 69 = 161 \text{ ч}; \quad \tau_{H_3}'' = \frac{30}{60} 69 = 34,5 \text{ ч};$$

$$\tau_{H_3}''' = \frac{30}{60} 69 = 34,5 \text{ ч}.$$

Определяем количество циклов перемещений выходного звена на длительном режиме 3:

$$n_{H_3}^i = \tau_{H_3}^i f_{H_3} 3600;$$

$$n_{H_3}' = 161 \cdot 0,3 \cdot 3600 = 173880;$$

$$n_{H_3}'' = 34,5 \cdot 0,3 \cdot 3600 = 37260;$$

$$n_{H_3}''' = 34,5 \cdot 0,3 \cdot 3600 = 37260;$$

Итого: $n_{H_3} = 248400$ циклов.

Определяем количество циклов перемещений выходного звена на ускоренном режиме 3:

$$n_{y_3}' = 173880 \left(\frac{9,5}{60} \right)^{-0,24} \left(\frac{120}{160} \right)^{2,4} = 136000;$$

$$n_{y_3}'' = 37260 \left(\frac{9,5}{60} \right)^{-0,24} \left(\frac{150}{190} \right)^{2,4} = 32500;$$

$$n_{y_3}''' = 37260 \left(\frac{9,5}{60} \right)^{-0,24} \left(\frac{135}{175} \right)^{2,4} = 31300.$$

Итого: $n_{y_3} = 186900$ циклов.

№ изн.
№ подн.

4835

№ Абраката
№ поднинка

13. Определяем время ресурсных испытаний на каждом ускоренном режиме:

$$\tau_{y_j} = \tau_{H_j} \left(\frac{v_{H_j}}{v_{y_j}} \right)^{1+ab} \left(\frac{t_{H_j}}{t_{y_j} + \Delta t_{K_j}} \right)^{\alpha};$$

$$\tau_{y_1} = 10 \left(\frac{19}{80} \right)^{1-0,24} \left(\frac{80}{106,1} \right)^{2,4} = 1,71 \text{ ч};$$

$$\tau_{y_2} = 10 \left(\frac{26,2}{80} \right)^{1-0,24} \left(\frac{70}{90,4} \right)^{1,74} = 2,74 \text{ ч};$$

$$\tau'_{y_3} = 161 \left(\frac{9,5}{60} \right)^{1-0,24} \left(\frac{120}{160} \right)^{2,4} = 20,40 \text{ ч};$$

$$\tau''_{y_3} = 34,5 \left(\frac{9,5}{60} \right)^{1-0,24} \left(\frac{150}{190} \right)^{2,4} = 4,90 \text{ ч};$$

$$\tau'''_{y_3} = 34,5 \left(\frac{9,5}{60} \right)^{1-0,24} \left(\frac{135}{175} \right)^{2,4} = 4,58 \text{ ч.}$$

Проверяем время ресурсных испытаний:

$$\tau_{y_j} = \frac{m_{y_j}}{f_{y_j} \cdot 3600} ;$$

$$\tau_{y_1} = \frac{7840}{1,27 \cdot 3600} = 1,73 \text{ ч};$$

$$\tau_{y_2} = \frac{5020}{0,51 \cdot 3600} = 2,74 \text{ ч};$$

$$\tau'_{y_3} = \frac{136000}{1,91 \cdot 3600} = 19,80 \text{ ч};$$

$$\tau''_{y_3} = \frac{32500}{1,91 \cdot 3600} = 4,75 \text{ ч};$$

$$\tau'''_{y_3} = \frac{31300}{1,91 \cdot 3600} = 4,57 \text{ ч.}$$

14. Определяем время старения для каждого ускоренного режима :

$$\tau_{y_j}^{cr} = \frac{\tau_{H_j}^{cr}}{\prod_{i=1}^n K_i^{cr} t_j} ;$$

$$\tau_{y_1}^{cr} = \frac{10}{5,2} = 1,92 \text{ ч};$$

$$\tau_{y_2}^{cr} = \frac{10}{4,1} = 2,44 \text{ ч};$$

$$\tau_{y_3}^{cr} = \frac{161}{6,75} = 24,00 \text{ ч};$$

$$\tau_{y_3}^{cr''} = \frac{34,5}{9,45} = 3,65 \text{ ч;}$$

$$\tau_{y_3}^{cr'''} = \frac{34,5}{7,2} = 4,79 \text{ ч.}$$

15. Проверяем суммарную эквивалентность по старению резиновых уплотнений на всех режимах испытаний при приведенной температуре $t_{pr} = 165^{\circ}\text{C}$:

$$|\Delta| = \left| \frac{\sum_{j=1}^J \tau_{y_j}^{pr} - \sum_{j=1}^J \tau_{y_j}^{cr,pr}}{\sum_{j=1}^J \tau_{y_j}^{pr}} \right| \cdot 100;$$

$$|\Delta| \leq 5\%;$$

$\Pi K_{cr_1} = 1,8^{0,39} \cdot 1,72 \cdot 1,65 \cdot 1,61 \cdot 1,59 \cdot 1,6 \cdot 1,67^{0,5} = 19,05$ в интервале $106,1 - 165,0^{\circ}\text{C}$;

$\Pi K_{cr_2} = 1,87^{0,96} \cdot 1,8 \cdot 1,72 \cdot 1,65 \cdot 1,61 \cdot 1,59 \cdot 1,6 \cdot 1,67^{0,5} = 52,3$ в интервале $90,4 - 165,0^{\circ}\text{C}$;

$\Pi K_{cr_3}^I = 1,67^{0,5} = 1,29$ в интервале $160 - 165^{\circ}\text{C}$;

$\Pi K_{cr_3}^{II} = 1,67^{0,5} \cdot 1,8 \cdot 1,96 = 4,55$ в интервале $165 - 190^{\circ}\text{C}$;

$\Pi K_{cr_3}^{III} = 1,67^{0,5} \cdot 1,8^{0,5} = 1,73$ в интервале $165 - 175^{\circ}\text{C}$;

$$\tau_{y_1}^{pr} = \frac{1,73}{19,05} = 0,09 \text{ ч;}$$

$$\tau_{y_2}^{pr} = \frac{2,74}{52,3} = 0,05 \text{ ч;}$$

$$\tau_{y_3}^{I,pr} = \frac{19,8}{1,29} = 15,35 \text{ ч;}$$

$$\tau_{y_3}^{II,pr} = 4,75 \cdot 4,55 = 21,60 \text{ ч;}$$

$$\tau_{y_3}^{III,pr} = 4,57 \cdot 1,73 = 7,90 \text{ ч;}$$

$$\tau_{y_1}^{cr,pr} = \frac{1,92}{19,05} = 0,10 \text{ ч;}$$

$$\tau_{y_2}^{cr,pr} = \frac{2,44}{52,3} = 0,05 \text{ ч;}$$

$$\tau_{y_3}^{cr,I,pr} = \frac{24}{1,29} = 18,60 \text{ ч;}$$

$$\tau_{y_3}^{cr,II,pr} = 3,65 \cdot 4,55 = 16,60 \text{ ч;}$$

$$\tau_{y_3}^{cr,III,pr} = 4,79 \cdot 1,73 = 8,29 \text{ ч;}$$

№ 334.
№ 338

4835

Исп. № дубликата
Исп. № подлинника

$$\sum_{j=1}^{j=3} \tau_{y_j}^{np} = 0,09 + 0,05 + 15,35 + 21,60 + 7,90 = 44,99 \text{ ч};$$

$$\sum_{j=1}^{j=3} \tau_{y_j}^{st,np} = 0,10 + 0,05 + 18,60 + 16,60 + 8,29 = 43,64 \text{ ч};$$

$$|\Delta| = \left| \frac{44,99 - 43,64}{44,99} \right| \cdot 100 = 3 \%. \quad$$

16. Определяем нагрузку на выходном звене:

$$R_{y_1} = R_{y_2} = R_{y_3} = R_y = R_H \left(\frac{\sum_{j=1}^j n_{Hj}}{\sum_{j=1}^j n_{yj}} \right)^{1/6};$$

$$R_y = 981 \left(\frac{10900 + 6000 + 248400}{7840 + 5020 + 199800} \right)^{1/6} = 1020 \text{ Н};$$

$$\left[R_y = 100 \left(\frac{10900 + 6000 + 248400}{7840 + 5020 + 199800} \right)^{1/6} = 104 \text{ кгс} \right].$$

17. Проверяем суммарную эквивалентность по накоплению усталостных повреждений выходного звена на всех режимах длительных и ускоренных испытаний:

$$\Delta D = \left[\frac{\sum_{j=1}^j n_{yj} (R_{yj}^{np})^6}{\sum_{j=1}^j n_{yj} (R_{Hj}^{np})^6} - 1 \right] 100, \\ -10\% \leq \Delta D \leq 200\%;$$

$$\Delta D = \left[\frac{1020^6 (7840 + 5020 + 199800)}{981^6 (10900 + 6000 + 248400)} - 1 \right] 100 = -3,8\%;$$

$$\left(\Delta D = \left[\frac{104^6 (7840 + 5020 + 199800)}{100^6 (10900 + 6000 + 248400)} - 1 \right] 100 = -3,8\% \right).$$

Эквивалентность по накоплению усталостных повреждений выходного звена на длительных и ускоренных режимах обеспечивается.

18. Проверяем суммарную эквивалентность по износу подшипников на длительных и ускоренных режимах испытаний:

$$|\Delta J| = \left[\frac{\sum_{j=1}^j n_{yj} A_{yj} (R_{yj}^{cp})^3}{\sum_{j=1}^j n_{Hj} A_{Hj} (R_{Hj}^{cp})^3} - 1 \right] 100,$$

$$|\Delta J| \leq 20\%;$$

$$|\Delta J| = \left[\frac{\left(\frac{1020}{2} \right)^3 (10 \cdot 7840 + 25 \cdot 5020 + 5 \cdot 199800)}{\left(\frac{981}{2} \right)^3 (10 \cdot 10900 + 25 \cdot 6000 + 5 \cdot 248400)} - 1 \right] 100 = 9,9\%;$$

$$|\Delta J| = \left[\frac{\left(\frac{104}{2} \right)^3 (10 \cdot 7840 + 25 \cdot 5020 + 5 \cdot 199800)}{\left(\frac{100}{2} \right)^3 (10 \cdot 10900 + 25 \cdot 6000 + 5 \cdot 248400)} - 1 \right] 100 = 9,9\%.$$

Эквивалентность по износу подшипников на режимах длительных и ускоренных испытаний обеспечивается.

19. Расчетные данные режимов ускоренных ресурсных испытаний свести в табл. 2.

Таблица 2

Номер режима	Амплитуда перемещения выходного звена, мм	Нагрузка на выходном звене, Н (кгс)	Температура, °С		Кол. циклов перемещений выходного звена	Частота перемещений выходного звена, Гц	Время испытаний на режиме, ч
			окружающей среды	рабочей жидкости			
1	10 ± 1	$\pm 1020 \pm 100$	25 ± 10	100 ± 10	7840	1,27	1,73
2	25 ± 2	$(\pm 104 \pm 10)$		85 ± 10	5020	0,51	2,74
3	5 ± 1			См. черт. 2	199800	1,91	29,12

Итого: 212660 циклов за 33,59 ч

20. Принимаем время подъема и снижения температуры рабочей жидкости

$$\tau_{4y_3}^{III} = 10 \text{ мин.}$$

21. Определяем количество температурных циклов на ускоренном режиме:

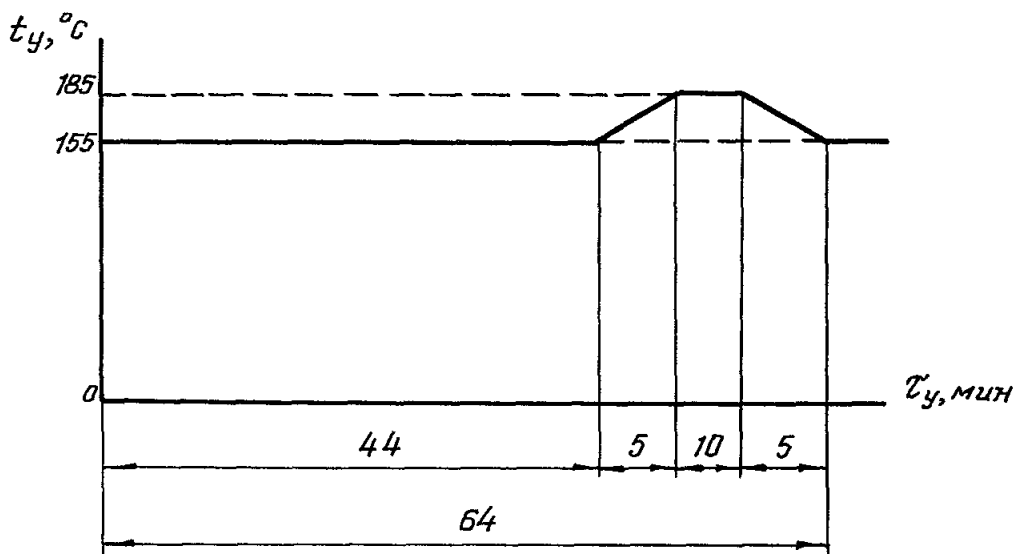
$$n_y^t = \frac{\tau_{4y_3}^{III}}{\tau_{4y_3}^{III}} = \frac{4,57 \cdot 60}{10} = 27,5 \text{ цикла.}$$

22. Определяем время испытаний в температурном цикле на каждом ускоренном подрежиме:

$$\tau_{4y_3}^I = \frac{\tau_{4y_3}^I}{n_y^t} = \frac{19,8 \cdot 60}{27,5} = 44 \text{ мин.}$$

$$\tau_{4y_3}^{II} = \frac{\tau_{4y_3}^{II}}{n_y^t} = \frac{4,75 \cdot 60}{27,5} = 10 \text{ мин.}$$

График циклической выдержки температуры рабочей жидкости
на режиме 3 ускоренных испытаний



Черт. 2

Из. № дубликата	№ 134.
Из. № оригиналка	4835

ПРИЛОЖЕНИЕ 7
СправочноеПРИМЕР РАСЧЕТА РЕЖИМОВ УСКОРЕННЫХ РЕСУРСНЫХ
ИСПЫТАНИЙ ГИДРОПРИВОДОВ
ПРИ $n_H = n_y; A_y \neq A_H; R_y \neq R_H$

1. Исходные данные для расчета режимов ускоренных ресурсных испытаний приведены в табл. 1.

Таблица 1

Номер режима	Амплитуда перемещения выходного звена, мм	Нагрузка на выходном звене, Н (кгс)	Температура, °C		Кол. циклов перемещений выходного звена	Частота перемещений выходного звена, Гц	Время испытания на режиме, ч
			окружающей среды	рабочей жидкости			
1	15 ± 1	$\pm 981 \pm 98$ $(\pm 100 \pm 10)$	25 ± 10	85 ± 10	72000	0,20	100
2	30 ± 2			80 ± 10	51400	0,14	
3	10 ± 1			110 ± 5	144000	0,16	240

Итого: 267400 циклов за 440 ч

Максимально развиваемое усилие $R_{max} = 1962$ Н (200 кгс) при скорости движения выходного звена $V = 0$.

Максимальная скорость движения выходного звена $V_{max} = 110$ мм/с при $R = 0$.

Уплотнения из резиновой смеси ИРП-1353.

Подшипники типа ШН.

Количество канапов - 1.

Материал выходного звена - сталь.

2. Определяем скорость движения выходного звена для каждого режима:

$$V_{Hj} = 2\pi f_{Hj} A_{Hj};$$

$$V_{H1} = 2 \cdot 3,14 \cdot 0,2 \cdot 15 = 18,84 \text{ мм/с};$$

$$V_{H2} = 2 \cdot 3,14 \cdot 0,14 \cdot 30 = 26,90 \text{ мм/с};$$

$$V_{H3} = 2 \cdot 3,14 \cdot 0,16 \cdot 10 = 10,50 \text{ мм/с}.$$

3. Определяем максимально допустимую скорость движения выходного звена в соответствии с нагрузочной характеристикой гидропривода (по техническим условиям) при нагрузке для каждого режима:

$$\vartheta_{R_{H_j}} = \frac{\vartheta_{max}}{\sqrt{R_{max} - R_{H_j}}} \sqrt{R_{max} - R_{H_j}};$$

$$\vartheta_{R_{H_1}} = \frac{110}{\sqrt{1962}} \sqrt{1962 - 981} = 78 \text{ мм/с};$$

$$\left(\vartheta_{R_{H_2}} = \frac{110}{\sqrt{200}} \sqrt{200 - 100} = 78 \text{ мм/с} \right).$$

Поскольку нагрузка на выходном звене для всех трех режимов одинакова, максимально допустимые скорости на всех трех режимах равны между собой:

$$\vartheta_{R_{H_1}} = \vartheta_{R_{H_2}} = \vartheta_{R_{H_3}} = 78,0 \text{ мм/с}.$$

4. Определяем скорость движения выходного звена для каждого ускоренного режима:

$$\vartheta_y = 0,9 \vartheta_{R_H} = 0,9 \cdot 78 = 70 \text{ мм/с};$$

$$\vartheta_{y_1} = \vartheta_{y_2} = 70 \text{ мм/с}.$$

Для режима 3 принимается степень ускорения ≈ 6 . В этом случае ϑ_{y_3} принять равной 60 мм/с.

5. Определяем приращение температуры в резиновом уплотнении от увеличения скорости движения выходного звена для каждого ускоренного режима:

$$\Delta t_{K_j} = C (\vartheta_{y_j} - \vartheta_{H_j}),$$

где $C = 0,1 {}^{\circ}\text{C} \cdot \text{с/мм};$

$$\Delta t_{K_1} = 0,1 (70 - 18,8) \approx 5,1 {}^{\circ}\text{C};$$

$$\Delta t_{K_2} = 0,1 (70 - 26,9) \approx 4,3 {}^{\circ}\text{C};$$

$$\Delta t_{K_3} = 0,1 (60 - 10) \approx 5,0 {}^{\circ}\text{C}.$$

6. Выбираем температуру рабочей жидкости для каждого режима:

для режима 1: $\vartheta_{y_1} \approx 4 \vartheta_{H_1}, \quad t_{y_1} = t_{H_1} + 20 {}^{\circ}\text{C} = 85 + 20 = 105 {}^{\circ}\text{C};$

для режима 2: $\vartheta_{y_2} \approx 3 \vartheta_{H_2}, \quad t_{y_2} = t_{H_2} + 15 {}^{\circ}\text{C} = 80 + 15 = 95 {}^{\circ}\text{C};$

для режима 3: $\vartheta_{y_3} \approx 6 \vartheta_{H_3}, \quad t_{y_3} = t_{H_3} + 40 {}^{\circ}\text{C} = 110 + 40 = 150 {}^{\circ}\text{C}.$

7 Принимаем $P_y = P_H$.

8. Для соблюдения фактора эквивалентности по старению резиновых уплотнений ($\tau_{y_j}^{CT} = \tau_{y_j}$) методом последовательных приближений уточняем температуру рабочей жидкости t_y при $v_y = const$ для каждого ускоренного режима по формуле :

$$v_y' = v_{Hj} \left[\prod_{i=1}^l K_{CTj} \left(\frac{t_{Hj}}{t_{y_j} + \Delta t_{Kj}} \right)^{\alpha_i} \right]^{\frac{1}{1+\alpha b}}.$$

Определяем $\prod_{i=1}^l K_{CTj}$ и α_i для каждого режима.

Расчет ведем для резиновой смеси ИРП-1353. Из приложения 3 выбираем значения коэффициентов старения для данной резины:

$$\prod_{i=1}^l K_{CTj} = K_{CT1}^{0,1 \Delta t_1} \cdot K_{CT2} \cdots K_{CT_{i-1}} \cdot K_{CT_l}^{0,1 \Delta t_l};$$

$$\prod K_{CT_1} = 1,95^{0,5} \cdot 1,87 \cdot 1,8 \cdot 1,72^{0,01} = 4,73 \text{ в интервале } 85,0-110,1^\circ\text{C};$$

$$\prod K_{CT_2} = 1,95 \cdot 1,87^{0,93} = 3,50 \text{ в интервале } 80,0-99,3^\circ\text{C};$$

$$\prod K_{CT_3} = 1,72 \cdot 1,65 \cdot 1,61 \cdot 1,59 \cdot 1,6^{0,5} = 9,15 \text{ в интервале } 110-155^\circ\text{C};$$

$$\alpha_{i_1} = \alpha_{i_3} = 2,4, \text{ так как на режимах 1 и 3 } (t_y + \Delta t_K) > 100^\circ\text{C};$$

$$\alpha_{i_2} = \frac{\alpha(t_y + \Delta t_K - 65)}{35} = \frac{2,4(99,3-65)}{35} = 2,35.$$

Определить v_y' для каждого режима :

$$v_{y_1}' = 18,8 \left[4,73 \left(\frac{85}{110,1} \right)^{2,4} \right]^{1,32} = 63 \text{ мм/с};$$

$$v_{y_2}' = 26,9 \left[3,50 \left(\frac{80}{99,3} \right)^{2,35} \right]^{1,32} = 71 \text{ мм/с};$$

$$v_{y_3}' = 10,5 \left[9,15 \left(\frac{110}{155} \right)^{2,4} \right]^{1,32} = 65 \text{ мм/с}.$$

9. Определяем амплитуду перемещений выходного звена для каждого ускоренного режима:

$$A_{y_j} = A_{H_j} \left(\frac{v_{H_j}}{v_{y_j}} \right)^{\alpha b} \left(\frac{t_{H_j}}{t_{y_j} + \Delta t_{K_j}} \right)^{\alpha_1};$$

$$A_{y_1} = 15 \left(\frac{18,8}{70} \right)^{-0,24} \left(\frac{85}{110,1} \right)^{2,4} = 11,0 \text{ мм};$$

$$A_{y_2} = 30 \left(\frac{26,9}{70} \right)^{-0,24} \left(\frac{80}{99,3} \right)^{2,35} = 23,0 \text{ мм};$$

$$A_{y_3} = 10 \left(\frac{10,5}{60} \right)^{-0,24} \left(\frac{110}{155} \right)^{2,4} = 6,6 \text{ мм.}$$

10. Определяем частоту перемещения выходного звена для каждого ускоренного режима:

$$f_{y_j} = \frac{v_{y_j}}{2\pi A_{y_j}};$$

$$f_{y_1} = \frac{70}{2 \cdot 3,14 \cdot 11} = 1 \text{ Гц};$$

$$f_{y_2} = \frac{70}{2 \cdot 3,14 \cdot 23} = 0,5 \text{ Гц};$$

$$f_{y_3} = \frac{60}{2 \cdot 3,14 \cdot 6,6} = 1,45 \text{ Гц.}$$

11. Принимаем количество циклов перемещений выходного звена для каждого ускоренного режима, равным количеству циклов для каждого длительного режима

$$n_{y_j} = n_{H_j}.$$

12. Определяем время ресурсных испытаний на каждом ускоренном режиме.

$$\tau_{y_j} = \tau_{H_j} \left(\frac{v_{H_j}}{v_{y_j}} \right)^{1+\alpha b} \left(\frac{t_{H_j}}{t_{y_j} + \Delta t_{K_j}} \right)^{\alpha_1};$$

$$\tau_{y_1} = 100 \left(\frac{18,8}{70} \right)^{1-0,24} \left(\frac{85}{110,1} \right)^{2,4} = 19,6 \text{ ч.}$$

$$\tau_{y_2} = 100 \left(\frac{26,9}{70} \right)^{1-0,24} \left(\frac{80}{99,3} \right)^{2,35} = 28,8 \text{ ч.}$$

$$\tau_{y_3} = 240 \left(\frac{10,5}{60} \right)^{1-0,24} \left(\frac{110}{155} \right)^{2,4} = 27,8 \text{ ч.}$$

Проверяем время ресурсных испытаний

$$\tau_{y_j} = \frac{n_{y_j}}{f_{y_j} \cdot 3600};$$

$$\tau_{y_1} = \frac{72000}{1 \cdot 3600} = 20,0 \text{ ч};$$

$$\tau_{y_2} = \frac{51400}{0,5 \cdot 3600} = 28,6 \text{ ч};$$

$$\tau_{y_3} = \frac{144000}{1,45 \cdot 3600} = 27,6 \text{ ч.}$$

13. Определяем время старения для каждого ускоренного режима:

$$\tau_{y_j}^{cr} = \frac{\tau_{H_j}}{\prod_{l=1}^L K_{crj}};$$

$$\tau_{y_1}^{cr} = \frac{100}{4,73} = 21,2 \text{ ч};$$

$$\tau_{y_2}^{cr} = \frac{100}{3,5} = 28,6 \text{ ч};$$

$$\tau_{y_3}^{cr} = \frac{240}{9,15} = 26,2 \text{ ч.}$$

14. Проверяем суммарную эквивалентность по старению резиновых уплотнений на всех режимах испытаний при приведенной температуре $t_{np} = 155^{\circ}\text{C}$.

$$|\Delta| = \left| \frac{\sum_{j=1}^J \tau_{y_j}^{np} - \sum_{j=1}^J \tau_{y_j}^{cr,np}}{\sum_{j=1}^J \tau_{y_j}^{np}} \right| \cdot 100,$$

$$|\Delta| \leq 5\%;$$

$$\Pi K_{cr1} = 1,72^{0,99} \cdot 1,65 \cdot 1,61 \cdot 1,59 \cdot 1,6^{0,5} = 9,14 \text{ в интервале } 110,1-155,0^{\circ}\text{C};$$

$$\Pi K_{cr2} = 1,87^{0,07} \cdot 1,8 \cdot 1,72 \cdot 1,65 \cdot 1,61 \cdot 1,59 \cdot 1,6^{0,5} = 17,3 \text{ в интервале } 99,3-155,0^{\circ}\text{C};$$

$$\tau_{y_1}^{np} = \frac{20}{9,14} = 2,19 \text{ ч.}$$

$$\tau_{y_2}^{np} = \frac{28,6}{17,3} = 1,65 \text{ ч.}$$

$$\tau_{y_3}^{np} = \tau_{y_3} = 27,60 \text{ ч.}$$

$$\tau_{y_1}^{cr,np} = \frac{21,2}{9,14} = 2,32 \text{ ч.}$$

$$\tau_{y_2}^{cr,np} = \frac{28,6}{17,3} = 1,65 \text{ ч.}$$

№ 139.
№ 838.

4836

№ дубликата
№ подлинника

$$\tau_{y_3}^{ct,np} = \tau_{y_3}^{ct} = 26,2 \text{ ч;}$$

$$\sum_{j=1}^3 \tau_{y_j}^{np} = 2,19 + 1,65 + 27,6 = 31,44 \text{ ч;}$$

$$\sum_{j=1}^3 \tau_{y_j}^{ct,np} = 2,32 + 1,65 + 26,2 = 30,17 \text{ ч;}$$

$$|\Delta| = \left| \frac{31,44 - 30,17}{31,44} \right| 100 = 4\%$$

15. Определяем нагрузку на выходном звене на каждом ускоренном режиме:

$$R_1^{cp} = R_2^{cp} = R_3^{cp} = R^{cp} = \frac{\sum_{j=1}^i A_{Hj} n_{Hj} R_{Hj}^{cp}}{\sum_{j=1}^i A_{y_j} n_{y_j}};$$

17 Для соблюдения эквивалентности по накоплению усталостных повреждений и износу подшипников на длительных и ускоренных режимах в соответствии с формулами (23) и (30) методом последовательных приближений определяем нагрузку на выходном звене.

18. Принимаем нагрузку на выходном звене $R_y = \pm 1177$ Н (± 120 кгс).

19. Проверяем суммарную эквивалентность по износу подшипников на длительных и ускоренных режимах:

$$|\Delta J| = \left| \frac{\sum_{j=1}^J A_{y_j} n_{y_j} (R_{y_j}^{cp})^3}{\sum_{j=1}^J A_{H_j} n_{H_j} (R_{H_j}^{cp})^3} - 1 \right| \times 100,$$

$$|\Delta J| \leq 20\%;$$

$$|\Delta J| = \left| \frac{11 \cdot 72000 \cdot 588,5^3 + 23 \cdot 51400 \cdot 588,5^3 + 6,6 \cdot 144000 \cdot 588,5^3}{15 \cdot 72000 \cdot 490,5^3 + 30 \cdot 51400 \cdot 490,5^3 + 10 \cdot 144000 \cdot 490,5^3} - 1 \right| \times$$

$$\times 100 = 20\%;$$

$$\left(|\Delta J| = \left| \frac{11 \cdot 72000 \cdot 60^3 + 23 \cdot 51400 \cdot 60^3 + 6,6 \cdot 144000 \cdot 60^3}{15 \cdot 72000 \cdot 50^3 + 30 \cdot 51400 \cdot 50^3 + 10 \cdot 144000 \cdot 50^3} - 1 \right| \times \right. \\ \left. \times 100 = 20\% \right).$$

Эквивалентность по износу подшипников на длительных и ускоренных режимах обеспечивается.

20. Проверяем суммарную эквивалентность по накоплению усталостных повреждений на длительных и ускоренных режимах для выходного звена:

$$\Delta D = \left[\frac{\sum_{j=1}^J n_{y_j} (R_{y_j}^{np})^6}{\sum_{j=1}^J n_{H_j} (R_{H_j}^{np})^6} - 1 \right] \times 100,$$

$$-10\% \leq \Delta D \leq 200\%.$$

$$\Delta D = \left[\frac{(72000+51400+144000) 1177^6}{(72000+51400+144000) 981^6} - 1 \right] \times 100 = 198\%;$$

$$\left(\Delta D = \left[\frac{(72000+51400+144000) \cdot 120^6}{(72000+51400+144000) \cdot 100^6} - 1 \right] \cdot 100 = 198\% \right).$$

Эквивалентность по накоплению усталостных повреждений на длительных и укоренных режимах для выходного звена обеспечивается.

21. Расчетные данные вписываются в табл. 2

Таблица 2

Номер режима	Амплитуда перемещения выходного звена, мм	Нагрузка на выходном звене, Н (кгс)	Температура, °C		Кол. циклов перемещений выходного звена	Частота перемещений выходного звена, Гц	Время испытаний на режимах, ч
			окружающей среды	рабочей жидкости			
1	11,0±1	±1177±110 (±120±10)	25±10	105±5	72000	1,00	20,0
2	23,0±2			95±5	51400	0,50	28,6
3	6,6±1			150±5	144000	1,45	27,6

Итого: 267400 циклов за 76,2 ч

№ изм.	
№ изм	

Название	№ дубликата
Но.	№ подлинника

4835

ПРИЛОЖЕНИЕ 8
СправочноеПРИМЕР РАСЧЕТА РЕЖИМОВ УСКОРЕННЫХ РЕСУРСНЫХ
ИСПЫТАНИЙ ГИДРОПРИВОДОВПРИ $n_y \neq n_H$, $A_y \neq A_H$, $R_y \neq R_H$

1. Исходные данные для расчета режимов ускоренных ресурсных испытаний приведены в табл. 1

Таблица 1

Номер режима	Амплитуда перемещения выходного звена, мм	Нагрузка на выходном звене, Н (кгс)	Температура, °C		Кол. циклов перемещений выходного звена	Частота перемещений выходного звена, Гц	Время испытаний на режиме, ч
			окружающей среды	рабочей жидкости			
1	15±1	±1471±150 (±150±15)	25±10	35±10	72000	0,2	100,0
2	35±2	±1962±196 (±200±20)	25±10	80±5	51400	0,1	142,8
3	8±1	±981±98 (±100±10)	25±10	100±5	144000	0,3	133,3

Итого: 267400 циклов за 376,1 ч

2. Определяем скорость перемещения выходного звена для каждого длительного режима:

$$V_{H_j} = 2\pi f_{H_j} A_{H_j};$$

$$V_{H_1} = 2 \cdot 3,14 \cdot 15 \cdot 0,2 = 18,84 \text{ мм/с};$$

$$V_{H_2} = 2 \cdot 3,14 \cdot 35 \cdot 0,1 = 21,98 \text{ мм/с};$$

$$V_{H_3} = 2 \cdot 3,14 \cdot 8 \cdot 0,3 = 15,07 \text{ мм/с}.$$

Максимально развиваемое усилие $R_{max} = 2943 \text{ Н (300 кгс)}$ при скорости движения выходного звена $V = 0 \text{ мм/с}$

Максимальная скорость выходного звена $V_{max} = 200 \text{ мм/с}$ при $R = 0$.

Выходные сиповые подшипники и подшипники подканалов типа ШН

Уплотнения изготовлены из резиновой смеси ИРП-1353.

Количество каналов - 2.

3. Определяем максимально допустимую скорость движения выходного звена на каждом длительном режиме в соответствии с нагрузочной характеристикой гидропривода:

$$\vartheta_{R_{H_j}} = \frac{\vartheta_{max}}{\sqrt{R_{max}}} \sqrt{R_{max} - R_{H_j}};$$

$$\vartheta_{R_{H_1}} = \frac{200}{\sqrt{2943}} \sqrt{2943 - 1471} = 158,54 \text{ мм/с};$$

$$\left(\vartheta_{R_{H_1}} = \frac{200}{\sqrt{300}} \sqrt{300 - 150} = 158,54 \text{ мм/с} \right);$$

$$\vartheta_{R_{H_2}} = \frac{200}{\sqrt{2943}} \sqrt{2943 - 1962} = 115,5 \text{ мм/с};$$

$$\left(\vartheta_{R_{H_2}} = \frac{200}{\sqrt{300}} \sqrt{300 - 200} = 115,5 \text{ мм/с} \right);$$

$$\vartheta_{R_{H_3}} = \frac{200}{\sqrt{2943}} \sqrt{2943 - 981} = 163,34 \text{ мм/с};$$

$$\left(\vartheta_{R_{H_3}} = \frac{200}{\sqrt{300}} \sqrt{300 - 100} = 163,34 \text{ мм/с} \right).$$

4. Принимаем температуру рабочей жидкости $t_y = 110^{\circ}\text{C}$ и давление рабочей жидкости $P_y = P_H$ одинаковые для всех ускоренных режимов.

5. Определяем скорость перемещения выходного звена, равную для всех ускоренных режимов:

$$\vartheta_y' = \left[\frac{\sum_{j=1}^J \tau_{H_j} (\vartheta_{H_j})^{1+\alpha b} \left(\frac{t_{H_j}}{t_y} \right)^{\alpha_1}}{\sum_{j=1}^J \tau_{H_j} \prod_{l=1}^i K_{ct}} \right]^{\frac{1}{1+\alpha b}}$$

где $\alpha = 2,4$;

$$\alpha_1 = \alpha = 2,4;$$

$$b = -0,1;$$

$$\prod K_{ct} 50 \dots 110 = 2,3 \cdot 2,18 \cdot 2,06 \cdot 1,95 \cdot 1,87 \cdot 1,8 = 67,79;$$

$$\prod K_{ct} 80 \dots 110 = 1,95 \cdot 1,87 \cdot 1,8 = 6,56;$$

$$\prod K_{ct} 100 \dots 110 = 1,80.$$

№ изм	№ изм.
-------	--------

4835

Инв № дубликата	Инв № подлинника
-----------------	------------------

$$\dot{v}_y' = \frac{\left[100 (18,84)^{0,76} \left(\frac{65}{110} \right)^{2,4} + 142,8 (21,98)^{0,76} \left(\frac{80}{110} \right)^{2,5} + \right.}{\frac{100}{67,79} + \frac{142,8}{6,56} + \frac{133,3}{1,8}} \\ \left. + 133,3 (15,07)^{0,76} \left(\frac{100}{110} \right)^{2,4} \right] 1,32 = 43,4 \text{ мм/с}$$

6. Определяем приращение температуры в резиновом уплотнении от увеличения скорости движения выходного звена на каждом ускоренном режиме:

$$\Delta t_{Kj} = c (\dot{v}_y' - \dot{v}_{Hj}),$$

где $c = 0,1 {}^{\circ}\text{C} \cdot \text{с/мм.}$

$$\Delta t_{K1} = 0,1 (43,4 - 18,84) = 2,46 {}^{\circ}\text{C};$$

$$\Delta t_{K2} = 0,1 (43,4 - 21,98) = 2,14 {}^{\circ}\text{C};$$

$$\Delta t_{K3} = 0,1 (43,4 - 15,07) = 2,83 {}^{\circ}\text{C}.$$

7. Определяем время испытаний на каждом ускоренном режиме:

$$\tau_{yj} = \tau_{Hj} \left(\frac{\dot{v}_{Hj}}{\dot{v}_y'} \right)^{1+ab} \left(\frac{t_{Hj}}{t_y + \Delta t_{Kj}} \right)^{a_1};$$

$$\tau_{y1} = 100 \left(\frac{18,84}{43,4} \right)^{0,76} \left(\frac{65}{110+2,46} \right)^{2,4} = 14,30 \text{ ч};$$

$$\tau_{y2} = 142,8 \left(\frac{21,98}{43,4} \right)^{0,76} \left(\frac{80}{110+2,14} \right)^{2,4} = 37,95 \text{ ч};$$

$$\tau_{y3} = 133,3 \left(\frac{15,07}{43,4} \right)^{0,76} \left(\frac{100}{110+2,83} \right)^{2,4} = 44,94 \text{ ч}.$$

8 Проверяем суммарную эквивалентность по старению резиновых уплотнений на длительных и ускоренных режимах:

$$|\Delta| = \left| \frac{\sum_{j=1}^j \tau_y^{ст.пр} - \sum_{j=1}^j \tau_H^{ст.пр}}{\sum_{j=1}^j \tau_y^{ст.пр}} \right| 100, \\ |\Delta| \leq 5\%.$$

$$\sum_{j=1}^j \tau_H^{ст.пр} = \frac{\tau_{H1}}{\pi K_{ct} 50 .. 110} + \frac{\tau_{H2}}{\pi K_{ct} 80 .. 110} + \frac{\tau_{H3}}{\pi K_{ct} 100 .. 110};$$

№ изм.
№ изм.

4835

Изв № дубликата
Изв № подлинника

$$\sum_{j=1}^d \tau_{H_j}^{ст.пр} = \frac{100}{67,79} + \frac{142,8}{6,56} + \frac{133,3}{1,8} = 97,3 \text{ ч.}$$

$$\sum_{j=1}^d \tau_{y_j}^{ст.пр} = \tau_{y_1} \cdot PK_{ст\ 110..112,46} + \tau_{y_2} \cdot PK_{ст\ 110..112,14} + \tau_{y_3} \cdot PK_{ст\ 110..112,83},$$

$$PK_{ст\ 110..112,46} = 1,72^{0,246} = 1,14;$$

$$PK_{ст\ 110..112,14} = 1,72^{0,214} = 1,12;$$

$$PK_{ст\ 110..112,83} = 1,72^{0,283} = 1,16;$$

$$\sum_{j=1}^d \tau_{y_j}^{ст.пр} = 14,3 \cdot 1,14 + 37,95 \cdot 1,12 + 44,94 \cdot 1,16 = 111 \text{ ч.}$$

$$|\Delta| = \left| \frac{111 - 97,3}{111} \right| \cdot 100 = 12,3\%.$$

9. Уточняем скорость движения выходного звена на ускоренном режиме:

$$v_y = v_y' \left(\frac{\sum_{j=1}^d \tau_{y_j}^{ст.пр}}{\sum_{j=1}^d \tau_{H_j}^{ст.пр}} \right);$$

$$v_y = 43,4 \left(\frac{111}{97,3} \right) = 49,5 \text{ мм/с.}$$

10. Определяем приращение температуры в резиновом уплотнении от увеличения скорости движения выходного звена на каждом ускоренном режиме:

$$\Delta t_{K_1} = 0,1 (49,5 - 18,84) = 3,0 {}^\circ\text{C};$$

$$\Delta t_{K_2} = 0,1 (49,5 - 21,98) = 2,7 {}^\circ\text{C};$$

$$\Delta t_{K_3} = 0,1 (49,5 - 15,07) = 3,4 {}^\circ\text{C}$$

11 Определяем время испытаний на ускоренных режимах:

$$\tau_{y_1} = 100 \left(\frac{18,84}{49,5} \right)^{0,76} \left(\frac{65}{110+3} \right)^{2,4} = 12,63 \text{ ч.}$$

$$\tau_{y_2} = 142,8 \left(\frac{21,98}{49,5} \right)^{0,76} \left(\frac{80}{110+2,7} \right)^{2,4} = 34,45 \text{ ч.}$$

$$\tau_{y_3} = 133,3 \left(\frac{15,07}{49,5} \right)^{0,76} \left(\frac{100}{110+3,4} \right)^{2,4} = 40,00 \text{ ч.}$$

12. Проверка суммарной эквивалентности по старению резиновых уплотнений на длительных и ускоренных режимах:

$$|\Delta| = \left| \frac{\sum_{j=1}^d \tau_{y_j}^{ст.пр} - \sum_{j=1}^d \tau_{H_j}^{ст.пр}}{\sum_{j=1}^d \tau_{y_j}^{ст.пр}} \right| \cdot 100,$$

$$|\Delta| \leq 5\%;$$

№ изм
№ изв.

4835

Изв № дубликата
Изв. № подлинника

$$\sum_{j=1}^d \tau_{H_j}^{стар} = 97,3 \text{ ч.}$$

$$\sum_{j=1}^d \tau_{y_j}^{стар} = \tau_{y_3} \Pi K_{ст} 110..113 + \tau_{y_2} \Pi K_{ст} 110..112,7 + \tau_{y_3} \Pi K_{ст} 110..113,4;$$

$$\Pi K_{ст} 110..113 = 1,72^{0,3} = 1,18;$$

$$\Pi K_{ст} 110..112,7 = 1,72^{0,27} = 1,15;$$

$$\Pi K_{ст} 110..113,4 = 1,72^{0,34} = 1,20;$$

$$\sum_{j=1}^d \tau_{y_j}^{стар} = 12,63 \cdot 1,18 + 34,45 \cdot 1,15 + 40 \cdot 1,2 = 102,33 \text{ ч.}$$

$$|\Delta| = \left| \frac{98,42 - 97,3}{98,42} \right| \cdot 100 = 4,9\%.$$

Эквивалентность по старению резиновых уплотнений обеспечивается.

13 Определяем амплитуду перемещений выходного звена общую для всех ускоренных режимов:

$$A_y = \frac{\sum_{j=1}^d A_{H_j} n_{H_j}}{\sum_{j=1}^d n_{H_j}};$$

$$A_y = \frac{15 \cdot 72000 + 35 \cdot 51400 + 8 \cdot 144000}{72000 + 51400 + 144000} = 15 \text{ мм.}$$

14. Определяем количество циклов перемещений выходного звена на ускоренных режимах:

$$n_{y_j} = n_{H_j} \cdot \frac{A_{H_j}}{A_y} \left(\frac{v_{H_j}}{v_y} \right)^{ab} \left(\frac{t_{H_j}}{\tau_y + \Delta t_{K_j}} \right)^{a_1};$$

$$\pi_{y_1} = 72000 \cdot \frac{15}{15} \left(\frac{18,84}{49,5} \right)^{-0,24} \left(\frac{65}{110+3} \right)^{2,4} = 24064 \text{ цикла;}$$

$$\pi_{y_2} = 51400 \cdot \frac{35}{15} \left(\frac{21,98}{49,5} \right)^{-0,24} \left(\frac{80}{110+2,7} \right)^{2,4} = 63803 \text{ цикла;}$$

$$\pi_{y_3} = 144000 \cdot \frac{8}{15} \left(\frac{15,07}{49,5} \right)^{-0,24} \left(\frac{100}{110+3,4} \right)^{2,4} = 75190 \text{ циклов.}$$

$$\sum_{j=1}^d n_{y_j} = 24064 + 63803 + 75190 = 163000 \text{ циклов.}$$

№ изм
№ изв.

4835

Изв № Абламата
Изв № подлинника

15. Все ускоренные режимы объединяем в один режим с параметрами:
 $t = 110^{\circ}\text{C}$, $A = \pm 15$ мм;

$$\tau = \sum_{j=1}^J \tau_{y_j};$$

$$\tau = 12,63 + 34,45 + 40 = 87,08 \text{ ч};$$

$$f = \frac{V}{2 \pi A \cdot A''};$$

$$f = \frac{49,5}{2 \cdot 3,14 \cdot 15} = 0,53 \text{ Гц.}$$

16. Уточняем количество циклов перемещений выходного звена на ускоренном режиме:

$$n = f \cdot 3600 \cdot \tau;$$

$$n = 0,53 \cdot 3600 \cdot 87,08 = 166000 \text{ циклов.}$$

17. Определяем среднее значение нагрузки на выходном звене:

$$R^{CP} = \frac{\sum_{j=1}^J n_{H_j} A_{H_j} (R_{H_j}^{CP})}{A \cdot n};$$

$$R^{CP} = \frac{72000 \cdot 15 \cdot 735,5 + 51400 \cdot 35 \cdot 981 + 144000 \cdot 8 \cdot 4905}{166000 \cdot 15} = 1256 \text{ Н;}$$

$$(R_{A''}^{CP} = \frac{72000 \cdot 15 \cdot 75 + 51400 \cdot 35 \cdot 100 + 144000 \cdot 8 \cdot 50}{166000 \cdot 15} = 128 \text{ кгс})$$

18. Проверяем суммарную эквивалентность по накоплению усталостных повреждений на длительных и ускоренных режимах для выходного звена:

$$\Delta D = \left[\frac{n(R^{CP})^6}{\sum_{j=1}^J n_{H_j} (R_{H_j}^{CP})^6} - 1 \right] 100;$$

$$-10\% \leq \Delta D \leq 200\%;$$

$$\Delta D = \left[\frac{166000 \cdot 2512^6}{72000 \cdot 1471^6 + 51400 \cdot 1962^6 + 144000 \cdot 981^6} - 1 \right] 100 = 998\%;$$

$$\left[\frac{166000 \cdot 256^6}{2000 \cdot 150^6 + 51400 \cdot 200^6 + 144000 \cdot 100^6} - 1 \right] 100 = 998\% \right).$$

ность по накоплению усталостных повреждений на длительных режимах для выходного звена не обеспечивается.

блюдения эквивалентности по накоплению усталостных поврежденийников на длительных и ускоренном режимах в соответствии с формулой (54) методом последовательных приближений определяем нагрузку же.

аем нагрузку на выходном звене $R = \pm 2011 \text{ Н} (\pm 205 \text{ кгс})$.

аем суммарную эквивалентность по износу выходных силовых длительных и ускоренном режимах:

$$|\mathcal{I}| = \left| \frac{n A (R^{cp})^3}{\sum_{j=1}^J n_{Hj} A_{Hj} (R_{Hj}^{cp})^3} - 1 \right| 100,$$

$$|\Delta \mathcal{I}| \leq 20\%;$$

$$\frac{166000 \cdot 15 \cdot 1005,5^3}{72000 \cdot 15 \cdot 735,5^3 + 51400 \cdot 35 \cdot 981^3 + 144000 \cdot 8 \cdot 490,5^3} -$$

$1,4\%$;

$$\frac{166000 \cdot 15 \cdot 102,5^3}{10 \cdot 15 \cdot 75^3 + 51400 \cdot 35 \cdot 100^3 + 144000 \cdot 8 \cdot 50^3} - 1 \left| 100 = 11,4\% \right).$$

ность по износу выходных силовых подшипников на длительных режимах обеспечивается.

аем суммарную эквивалентность по накоплению усталостных пов-

$$\Delta D = \left[\frac{166000 \cdot 2011^6}{72000 \cdot 1471^6 + 51400 \cdot 1962^6 + 144000 \cdot 981^6} - 1 \right] 100 = 190\%;$$

$$\left(\Delta D = \left[\frac{166000 \cdot 205^6}{72000 \cdot 150^6 + 51400 \cdot 200^6 + 144000 \cdot 100^6} - 1 \right] 100 = 190\% \right).$$

Эквивалентность по накоплению усталостных повреждений на режимах длительных и ускоренных испытаний для выходного звена обеспечивается.

23. Определяем экспериментально давления в полостях цилиндра и перепад давления рабочей жидкости на поршне для каждого канала гидропривода на длительных и ускоренном режимах. Результаты вписываем в табл. 2.

24. Определяем приведенные давления на каждом длительном и ускоренном режимах:

$$P_j^{pr} = \sqrt{P_j^{max} (P_j^{max} - P_j^{min})}.$$

Результаты вписываем в табл. 3.

№ №3М.
№ №3В.

4835

Инн. №: дубликата
Инн. №: подлинника

Таблица 2

Режим	Номер режима	Давление рабочей жидкости, МПа ($\text{кгс}/\text{см}^2$)													
		Канал I							Канал II						
		Полость 1		Полость 2		Поршень 1			Полость 1		Полость 2		Поршень 2		
		P_{I-1}^{\max}	P_{I-1}^{\min}	P_{I-2}^{\max}	P_{I-2}^{\min}	ΔP_I^{\max}	ΔP_I^{\min}	ΔP_I^{cp}	P_{II-1}^{\max}	P_{II-1}^{\min}	P_{II-2}^{\max}	P_{II-2}^{\min}	ΔP_{II}^{\max}	ΔP_{II}^{\min}	ΔP_{II}^{cp}
Длительный	1	14,70 (150,00)	12,95 (132,00)	8,88 (90,5)	8,68 (88,50)	6,03 (61,5)	4,07 (41,50)	5,05 (51,50)	15,70 (160)	13,73 (140,0)	11,77 (120)	11,57 (118,0)	4,12 (42,0)	1,96 (20,0)	3,04 (31,0)
	2	14,22 (145,00)	13,05 (133,00)	9,81 (100,0)	9,42 (96,00)	4,81 (49,0)	3,24 (33,0)	4,02 (41,00)	14,91 (152)	13,83 (141,0)	10,99 (112)	10,70 (109,0)	4,22 (43,0)	2,84 (29,0)	3,53 (36,0)
	3	15,20 (155,00)	14,70 (150,00)	10,20 (104,0)	9,81 (100,00)	5,39 (55,0)	4,51 (46,00)	4,95 (50,50)	15,70 (160)	14,86 (151,5)	11,28 (115)	11,13 (113,5)	4,56 (46,5)	3,58 (36,5)	4,07 (41,5)
Ускоренный	-	12,40 (126,48)	12,32 (125,66)	6,96 (71,0)	6,86 (69,97)	5,54 (56,5)	5,36 (54,67)	5,45 (55,59)	15,70 (160)	13,93 (142,0)	9,81 (100)	9,61 (98,0)	6,08 (62,0)	4,12 (42,0)	5,10 (52,0)

№ 120.

№ 130.

4885

Наб. № Аудитора

Наб. № податчика

Таблица 3

Режим	Номер режима	Значения приведенного давления, МПа ($\text{кгс}/\text{см}^2$)			
		Канал I		Канал II	
		Полость 1	Полость 2	Полость 1	Полость 2
Длительный	1	51,00 (52,0)	1,31 (13,40)	5,55 (56,6)	1,52 (15,5)
	2	4,09 (41,70)	1,96 (20,00)	4,02 (41,0)	1,79 (18,3)
	3	2,73 (27,80)	2,00 (20,40)	3,61 (36,8)	1,28 (13,1)
Ускоренный	-	1,00 (10,2)	0,83 (8,55)	5,27 (53,7)	1,38 (14,1)

25. Критичной является первая полость второго канала, имеющая максимальные значения P_{pp} на длительных и ускоренных режимах.

26. Проверяем эквивалентность длительных и ускоренных испытаний по накоплению усталостных повреждений:

$$\Delta D = \left[\frac{n (P_{pp})^m}{\sum_{j=1}^J n_{Hj} (P_{Hj}^{pp})^m} - 1 \right] 100,$$

$$-10\% \leq \Delta D \leq 200\%$$

$$\Delta D = \left[\frac{166000 \cdot 5,27^6}{72000 \cdot 5,55^6 + 51400 \cdot 4,02^6 + 144000 \cdot 3,61^6} - 1 \right] 100 = 36\%,$$

$$\left(\Delta D = \left[\frac{166000 \cdot 53,7^6}{72000 \cdot 56,6^6 + 51400 \cdot 41^6 + 144000 \cdot 36,8^6} - 1 \right] 100 = 36\% \right).$$

27. Определяем переменные (ΔP_{aj}) и постоянные (ΔP_{mj}) составляющие перепадов давления рабочей жидкости на поршне в каждом канале и приведенные перепады давления (ΔP_j^{pp}) на каждом длительном и ускоренном режиме:

$$\Delta P_{aj} = \frac{\Delta P_j^{max} - \Delta P_j^{min}}{2};$$

$$\Delta P_{mj} = \frac{\Delta P_j^{max} + \Delta P_j^{min}}{2};$$

$$\Delta P_j^{\eta\rho} = |\Delta P_{\alpha_j}| + \psi |\Delta P_{m_j}|.$$

Результаты сводим в табл. 4.

28. Критическим каналом на длительных режимах является первый канал, на ускоренном режиме – второй канал.

29. Проверяем эквивалентность длительных и ускоренных испытаний по накоплению усталостных повреждений:

$$\Delta D = \left[\frac{n (\Delta P^{\eta\rho})^m}{\sum_{j=1}^d n_j (\Delta P_{Hj}^{\eta\rho})^m} - 1 \right] 100,$$

$$-10\% \leq \Delta D \leq 200\%;$$

$$\Delta D = \left[\frac{166000 \cdot 2^6}{72000 \cdot 2,26^6 + 51400 \cdot 1,59^6 + 144000 \cdot 1,43^6} - 1 \right] 100 = -7\%;$$

$$\left(\Delta D = \left[\frac{166000 \cdot 20,4^6}{72000 \cdot 23^6 + 51400 \cdot 16,2^6 + 144000 \cdot 14,6^6} - 1 \right] 100 = -7\% \right).$$

Таблица 4

Режим	Номер режима	Перепад давления рабочей жидкости, МПа (kgs/cm^2)					
		Канал I			Канал II		
		ΔP_{α_I}	ΔP_{m_I}	$\Delta P_I^{\eta\rho}$	$\Delta P_{\alpha_{II}}$	$\Delta P_{m_{II}}$	$\Delta P_{II}^{\eta\rho}$
Длительный	1	0,98 (10,00)	5,05 (51,50)	2,26 (23,00)	1,08 (11)	3,04 (31,0)	1,69 (17,2)
	2	0,78 (8,00)	4,02 (41,00)	1,59 (16,20)	0,69 (7)	3,53 (36,0)	1,39 (14,2)
	3	0,44 (4,50)	4,95 (50,50)	1,43 (14,60)	0,49 (5)	4,07 (41,5)	1,30 (13,3)
Ускоренный	-	0,09 (0,92)	5,45 (55,59)	1,18 (12,04)	0,98 (10)	5,10 (52,0)	2,00 (20,4)

№ изм.
№ изб.

4835

Исп. № дубликата
Исп. № подлинника

30. Проверяем эквивалентность длительных и ускоренных испытаний по износу подшипников, нагружаемых внутренними нагрузками (расогласование каналов).

$$|\Delta \mathcal{J}| = \left| \frac{A \cdot n \cdot (\Delta P^{cp})^3}{\sum_{j=1}^J A_{H_j} \cdot n_{H_j} \cdot (\Delta P_{H_j}^{cp})^3} - 1 \right| \cdot 100,$$

$$|\Delta \mathcal{J}| \leq 20\%;$$

$$|\Delta \mathcal{J}| = \left| \frac{15 \cdot 166000 \cdot 5,45^3}{15 \cdot 72000 \cdot 5,05^3 + 35 \cdot 51400 \cdot 4,02^3 + 8 \cdot 144000 \cdot 4,95^3} - 1 \right| \cdot x \\ \times 100 = 0,75\%;$$

$$\left(|\Delta \mathcal{J}| = \left| \frac{15 \cdot 166000 \cdot 55,59^3}{15 \cdot 72000 \cdot 51,5^3 + 35 \cdot 51400 \cdot 41^3 + 8 \cdot 144000 \cdot 50,5^3} - 1 \right| \cdot x \right. \\ \left. \times 100 = 0,75\% \right).$$

Эквивалентность по износу подшипников, нагружаемых перепадом давления, на режимах длительных и ускоренных испытаний обеспечивается.

31 Результаты расчета сводятся в табл. 5.

Таблица 5

Наименование параметра	Численное значение
Амплитуда перемещений выходного звена, мм	$\pm 15 \pm 1$
Частота перемещений выходного звена, Гц	$0,5 \pm 0,05$
Нагрузка на выходном звене, Н (кгс)	$\pm 2011 \pm 200$ ($\pm 205 \pm 20$)
Температура рабочей жидкости, $^{\circ}\text{C}$	110 ± 5
Температура окружающей среды, $^{\circ}\text{C}$	25 ± 10
Количество циклов	166000
Длительность режима, ч	87,08

№ изн.
№ 431.

4835

Изв. № дубликата
Изв. № подлинника

ПРИЛОЖЕНИЕ 9
СправочноеПРИМЕР РАСЧЕТА РЕЖИМОВ УСКОРЕННЫХ ИСПЫТАНИЙ
МНОГОКАНАЛЬНЫХ (МНОГОКАМЕРНЫХ) ГИДРОПРИВОДОВ
НА УСТАЛОСТЬ ЗА НАЗНАЧЕННЫЙ РЕСУРС

1. В качестве примера по определению режимов ускоренных испытаний на усталость рассматривается нагружение двухканального гидропривода с последовательным расположением каналов
2. Рассматривается только определение эквивалентного нагружения гидропривода, имитирующее нагружение гидропривода внутренними силами. Эквивалентное нагружение гидропривода, реализующее нагружение внешними усилиями, либо задано в техническом задании, либо рассчитывается согласно разделу 7 настоящего стандарта.
3. Исходные данные для расчета режимов ускоренных испытаний, заданные в техническом задании (технических условиях), приведены в табл. 1.

Таблица 1

Номер режима	Амплитуда перемещения выходного звена, мм	Нагрузка на выходном звене, Н (кгс)	Температура, °C		Кол. циклов за назначенный ресурс
			окружающей среды	рабочей жидкости	
1	15 ± 1	0	25 ± 10	35^{+25}_{-10}	950000
2	30 ± 1	$\pm 156800 \pm 19600$ $(\pm 16000 \pm 2000)$	25 ± 10	35 ± 10	75000
3	10 ± 1	$\pm 127400 \pm 9800$ $(\pm 13000 \pm 1000)$	100 ± 10	105 ± 10	4862500

4. Для обоих каналов на всех режимах на различных регулировках золотников в пределах требований технических условий было проведено осциллографирование давления в полостях гидропривода и определены экспериментальные значения давлений по полостям и перепадов давлений на поршнях гидропривода. Значения их для регулировок золотников, дающих наибольшее нагружение различных групп деталей гидропривода, приведены в табл. 2.

5. Определяем эквивалентное нагружение деталей из стальных сплавов, нагружаемых перепадом давления. По формулам (35) и (36) определяем постоянные и переменные составляющие перепада давлений ΔP_a и ΔP_m , по формуле (37) – приведенные перепады давлений. Коэффициент Ψ принимаем равным 0,15.

Нкв. № дубликата	
Нкв. № подлинника	4835

№ изм.											
№ изв.											

Таблица 2

Номер режима	Давление рабочей жидкости, МПа ($\text{кгс}/\text{см}^2$)											
	Канал I						Канал II					
	Полость 1 (первая регулировка)		Полость 2 (вторая регулировка)		Поршень 1 (вторая регулировка)		Полость 1 (вторая регулировка)		Полость 2 (первая регулировка)		Поршень 2 (вторая регулировка)	
	P_{I-1}^{\max}	P_{I-1}^{\min}	P_{I-2}^{\max}	P_{I-2}^{\min}	ΔP_I^{\max}	ΔP_I^{\min}	P_{II-1}^{\max}	P_{II-1}^{\min}	P_{II-2}^{\max}	P_{II-2}^{\min}	ΔP_{II}^{\max}	ΔP_{II}^{\min}
1	17,76 (181)	13,34 (136)	14,22 (145)	5,89 (60)	15,60 (159)	1,18 (12)	13,34 (136)	4,61 (47)	18,54 (189)	14,71 (150)	16,58 (169)	4,32 (44)
2	13,73 (140)	5,49 (56)	17,36 (177)	8,83 (90)	12,07 (123)	-6,38 (-65)	7,45 (76)	0 (0)	26,58 (271)	16,87 (172)	26,19 (267)	10,59 (108)
3	14,81 (151)	7,85 (80)	15,60 (159)	5,89 (60)	10,20 (104)	-5,79 (-59)	6,57 (67)	0 (0)	26,09 (266)	17,36 (177)	26,09 (266)	13,14 (134)

ОСТ 1 00149-82 Стр. 77

6 Принимаем изменение давления в полостях гидропривода при ускоренных испытаниях от 0,49 до 19,62 МПа (от 5 до 200 кгс/см²). Соответственно перепад давления на поршнях гидропривода при ускоренных испытаниях

$$\Delta P_{экв} = \pm 19 \text{ МПа} (\pm 195 \text{ кгс/см}^2)$$

7 Определяем эквивалентное число циклов нагружения для стальных деталей, нагружаемых перепадом давления на поршне, по формуле (62). Показатель степени γ принимаем равным 6 для ожидаемой долговечности не менее $3 \cdot 10^6$ циклов на всех режимах

8. Результаты расчетов по пп. 5 – 7 сведены в табл. 3

9. Определяем число циклов испытания по формуле (58). Для одного испытываемого образца принимаем коэффициент $\eta_4 = 5$ и $\eta_2 = 1,2$, тогда $\eta_{\Sigma} = \eta_2 \cdot \eta_4 = 6$.

Зачетное число циклов при испытании для стальных нерезервированных деталей, нагружаемых перепадом давления на поршне, соответственно будет:

- для канала I – 249000 циклов;
- для канала II – 452280 циклов.

Коэффициент надежности для двух испытываемых образцов при $\eta_4 = 4$ и $\eta_2 = 1$ (разрушение одного из образцов не приводит к усложнению полета) $\eta_{\Sigma} = 4$.

Зачетное число циклов для стальных резервированных деталей, нагружаемых перепадом давления на поршне, составляет:

$$n_y = \eta_{\Sigma} n_{экв max} = 4 \cdot 75380 = 301520 \text{ циклов.}$$

Примечание. Ожидаемая долговечность на режимах при условии отработки без разрушения 452280 циклов на эквивалентном режиме

$$\text{будет } N_{j \text{ ожид}} = 452280 \left(\frac{\Delta P_{экв}^{pp}}{\Delta P_j^{pp}} \right)^4$$

и соответственно составит: $17,22 \cdot 10^6$; $4,86 \cdot 10^6$; $7,69 \cdot 10^6$ циклов, что подтверждает правильность выбора степени $\gamma = 6$ (с некоторым запасом по режиму 1).

Инв № дубликата	
Инв № подлинника	4835

№ изм.											
№ изм.											

Таблица 3

Номер режима	Коп. циклов за назначенный ресурс	Канал I			эквивалентное число циклов нагружения	Канал II			Эквивалентное число циклов нагружения		
		Поршень 1				Поршень 2					
		ΔP_{a_I}	ΔP_{m_I}	ΔP_I^{np}		$\Delta P_{a_{II}}$	$\Delta P_{m_{II}}$	ΔP_{II}^{np}			
МПа (кгс/см ²)			МПа (кгс/см ²)			МПа (кгс/см ²)					
1	950000	7,21 (73,5)	8,39 (85,5)	8,47 (86,3)	7140	6,13 (62,5)	10,447 (106,5)	7,70 (78,5)	4040		
2	75000	9,22 (94,0)	2,84 (29,0)	9,65 (98,4)	1240	7,80 (79,5)	18,390 (187,5)	10,55 (107,6)	2120		
3	4862500	7,99 (81,5)	2,21 (22,5)	8,33 (84,9)	33120	6,47 (66,0)	19,620 (200,0)	9,42 (96,0)	69 220		
Итого циклов:		4 1500				75380					

10. Эквивалентное нагружение сухаря и втулки, нагружаемых перепадом давлений, между каналами, определено аналогично (см. пп. 5-9) и приведено в табл. 4.

Таблица 4

Номер режима	Кол. циклов за назначенный ресурс	$\Delta P_{кан}^{max}$	$\Delta P_{кан}^{tip}$	$\Delta P_{акан}$	$\Delta P_{ткан}$	$\Delta P_{кан}^{pr}$	Эквивалентное число циклов нагружения
		МПа (кгс/см ²)					
1	950 000	4,80 (49)	-1,47 (-15)	3,14 (32)	1,67 (17)	3,38 (34,5)	29
2	75000	13,34 (136)	7,26 (74)	3,04 (31)	10,30 (105)	4,58 (46,7)	14
3	4862 500	12,46 (127)	6,87 (70)	2,75 (28)	9,61 (98)	4,24 (43,2)	574

Итого циклов: 617

Перепад давлений между каналами определен по осцилограммам (см. п. 4). Эквивалентный перепад давлений $\Delta P_{экб}^{pr}$ между каналами при принятом давлении испытаний от 0,49 до 19,62 МПа (от 5 до 200 кгс/см²) составляет $\Delta P_{экб} = \pm 19$ МПа (± 195 кгс/см²).

Зачетное число циклов при испытании нерезервированных стальных сухаря и втулки ($\eta_{\Sigma} = 6$) составляет $\Pi_{y_2} = 6 \cdot 617 = 3702$ цикла.

11. Определяем эквивалентное нагружение деталей из стальных сплавов, нагружаемых давлением в полостях, по формуле (33) определяем P^{pr} .

Приведенное давление в полостях при ускоренных испытаниях составляет: $P_{экб}^{pr} = 0 \dots 19,37$ МПа ($0 \dots 197,5$ кгс/см²).

Результаты расчетов приведены в табл. 5.

Таблица 5

Номер режима	P^{pr} , МПа (кгс/см ²)	$\Pi_{экб}$						
	Полость 1-1		Полость 1-2		Полость 2-1		Полость 2-2	
1	8,86 (90,3)	8680	10,89 (111,0)	29940	10,79 (110)	28360	8,44 (86,0)	6480
2	10,64 (108,5)	2060	12,17 (124,1)	4620	7,45 (76)	240	16,09 (164,0)	24590
3	10,16 (103,6)	101300	12,31 (125,5)	320120	6,57 (67)	7400	15,09 (153,8)	1084300

Итого циклов: 112040 354680 36000 1115370

12. Зачетное число циклов при испытании для стальных нерезервированных деталей, нагружаемых давлением в полостях ($\eta_{\Sigma} = 6$), составляет:

$$\eta_y_3 = \eta_{\Sigma} \eta_{\text{экв, max}} = 6 \cdot 1115370 = 6692220 \text{ циклов.}$$

Зачетное число циклов при испытании для стальных резервированных деталей, нагружаемых давлением в полостях ($\eta_{\Sigma} = 4$), составляет:

$$\eta_y_4 = 4 \cdot 1115370 = 4461480 \text{ циклов.}$$

Если имеются детали, выполненные из других материалов, то для них определяется свое эквивалентное число циклов.

Результаты расчета по пп 9, 10, 12 приведены в табл. 6.

Таблица 6

Группа деталей	Эквивалентная нагрузка, МПа (kg/cm^2)	Число образцов	Зачетное число циклов
Давление в цилиндре	0,49 . .19,62 (5 . . 200)	1	6692220
		2	4461480
Перепад давления в каналах	± 19 (± 195)	1	452280
		2	301520
Перепад давления между каналами	± 19 (± 195)	1	3702

13. Максимальное число циклов при ускоренных испытаниях на усталость $\eta_y^{\text{max}} = 6692220$ циклов

Реализация нагрузений внутренними силами производится:

- для деталей, нагружаемых перепадом давления между каналами, - на ступени нагружения нагрузкой на выходном звене;
- для деталей, нагружаемых давлением и перепадом давления в каналах, - на ступенях нагружения нагрузкой на выходном звене и нагружения давлением в полостях, когда давление подается одновременно в обе средние камеры, а затем - в обе крайние камеры (за счет регулировки в противофазе золотников распределительных устройств).

14. Для защиты сопротивления усталости деталей, зачетное число циклов испытаний которых меньше η_y^{max} , при необходимости оговариваются промежуточные разборки и осмотры.

Разрушение деталей после наработки ими зачетного числа циклов не является браковочным признаком.

№ 138.	№ 138.
4835	
Исп. № дубликата	
Исп. № подлинника	